



Vlaanderen
is omgeving

Gevoeligheidskaart van krimp- en zwellgedrag van de bodem en ondergrond in Vlaanderen bij veranderend vochtgehalte

 **Eindrapport**

DEPARTEMENT
OMGEVING

omgevingvlaanderen.be

Gevoeligheidskaart van krimp- en zwelgedrag van de bodem en ondergrond in Vlaanderen bij veranderend vochtgehalte

Deze studie heeft als doel het opmaken van een gevoeligheidskaart m.b.t. krimp- en zwelgedrag bij veranderend vochtgehalte voor Vlaanderen. De resulterende kaart maakt een inschatting van de gevoeligheid van de ondergrond tot 5m diepte voor krimp-/zwellenomenen bij veranderend vochtgehalte.

Dit rapport bevat de mening van de auteur(s) en niet noodzakelijk die van de Vlaamse Overheid.

COLOFON

Verantwoordelijke uitgever

Toon Denys
Departement Omgeving
Vlaams Planbureau voor Omgeving
Koning Albert II-laan 20 bus 8, 1000 Brussel
vpo.omgeving@vlaanderen.be
www.omgevingvlaanderen.be

Auteurs

Vincent Wolfs – Sumaqua
Gust Van Lysebetten – Buildwise, Laboratorium Geotechniek en Monitoring
Noël Huybrechts – Buildwise, Directie R&D
Jan Maertens – Jan Maertens bv

Depotnummer

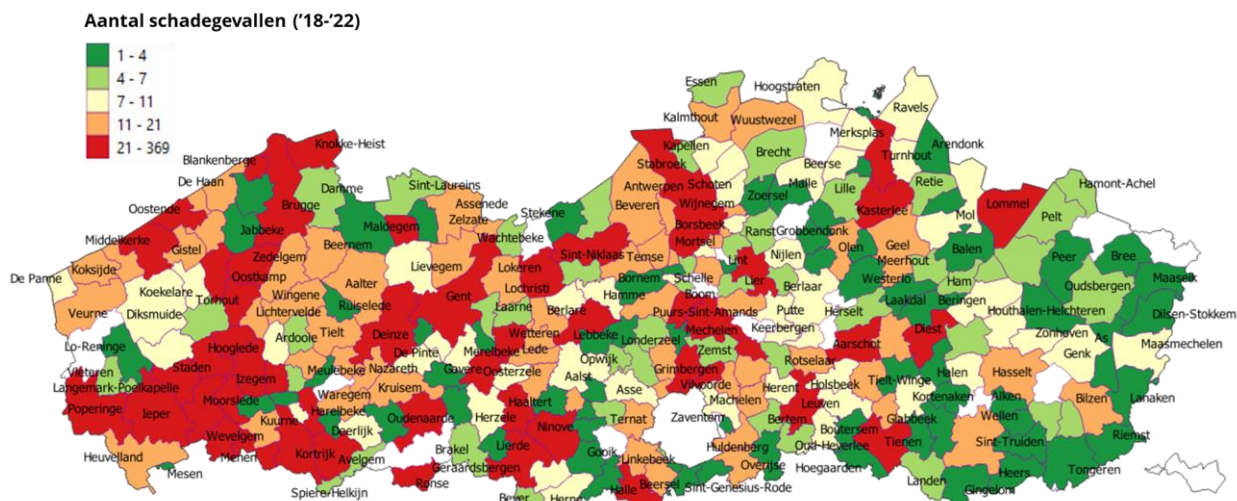
D/2024/3241/038

Wijze van citeren

Van Lysebetten G., Wolfs V., Maertens J. & Huybrechts N. (2024). Gevoeligheidskaart van krimp- en zwelgedrag van de bodem en ondergrond in Vlaanderen bij veranderend vochtgehalte. Studie in opdracht van Departement Omgeving, Vlaams Planbureau voor Omgeving.

PARTNERS





Figuur 4: Totaal aantal schadegevallen van de gecontroleerde huurwoningen in de periode 2018-2022 voor gebrekkodes 21 en 31 en alle scores (I, II en III).

Voor de verdere analyse werden enkel schades van scores II en III opgenomen, en enkel gebrekkodes 21 en 31. We verwachten immers dat scheurvorming ten gevolge van zwel- en krimp zich vooral (of minstens eerst) aan gevelvlakken en -elementen of dragende binnenmuren zal manifesteren. Door enkel schades met score II en III op te nemen beperken we de analyse bovendien tot de ernstige gebreken.

In 2018 werden 441 schadegevallen genoteerd die aan deze criteria voldoen, in 2019 865, in 2020 795, in 2021 241 en tot slot in 2022 256. Er is geen informatie gekend over het aantal uitgevoerde controles in elk jaar. Bijgevolg is het niet mogelijk om met zekerheid conclusies te trekken uit deze evolutie van het aantal schadegevallen doorheen de tijd. Wel valt op dat het aantal schadegevallen beduidend hoger is in 2019 en 2020 dan in andere jaren. Merk op dat de jaren 2017, 2018, 2019, 2020 en 2022 gekenmerkt werden door (uitzonderlijke) droogtes, maar de gegevens zijn te gebrekkig om een verband tussen het hogere aantal schadegevallen en de droogteperiodes te kunnen leggen.

Het aantal schadegevallen per gemeente is uiteraard afhankelijk van het aantal huurwoningen per gemeente (alsook het aantal uitgevoerde controles, maar daarover zijn er geen cijfers beschikbaar). Bijgevolg is het interessant om niet enkel de absolute cijfers van aantal schadegevallen te onderzoeken, maar ook het aantal schadegevallen te vergelijken met het aantal huurwoningen per gemeente. Figuur 5 toont daarom de verhouding van het aantal schadegevallen met gebrekkodes 21 en 31 en scores II en III van 2018 tot en met 2022 versus het aantal huurders. De legende werd opgemaakt met gelijke kwantielen, wat betekent dat elke klasse van de legende evenveel postcodes omvat. Hierbij valt op dat deze verhouding in de provincie West-Vlaanderen aanzienlijk hoger is dan in de andere provincies in Vlaanderen. Ook in de Vlaamse Ardennen (Geraardsbergen, Bever, ...) zijn hogere cijfers terug te vinden. Het is moeilijk om een oorzakelijk verband te bepalen gezien de beperkte gegevens. Mogelijks komt dit door toeval, een verhoogd aantal controles in bepaalde regio's of toch stabiliteitsredenen gelinkt aan de bodem en ondergrond. Dit kan echter niet verder gespecificeerd worden met zekerheid.

Shrink Swell - England, Scotland and Wales



British Geological Survey
Expert | Impartial | Innovative

Areas of potential ground movement

Level of susceptibility

- Low
- Moderate
- Significant

The BGS GeoSure Shrink Swell 5 km hex grid shows a generalised view of the BGS GeoSure Shrink Swell v8 dataset to a hexagonal grid resolution.

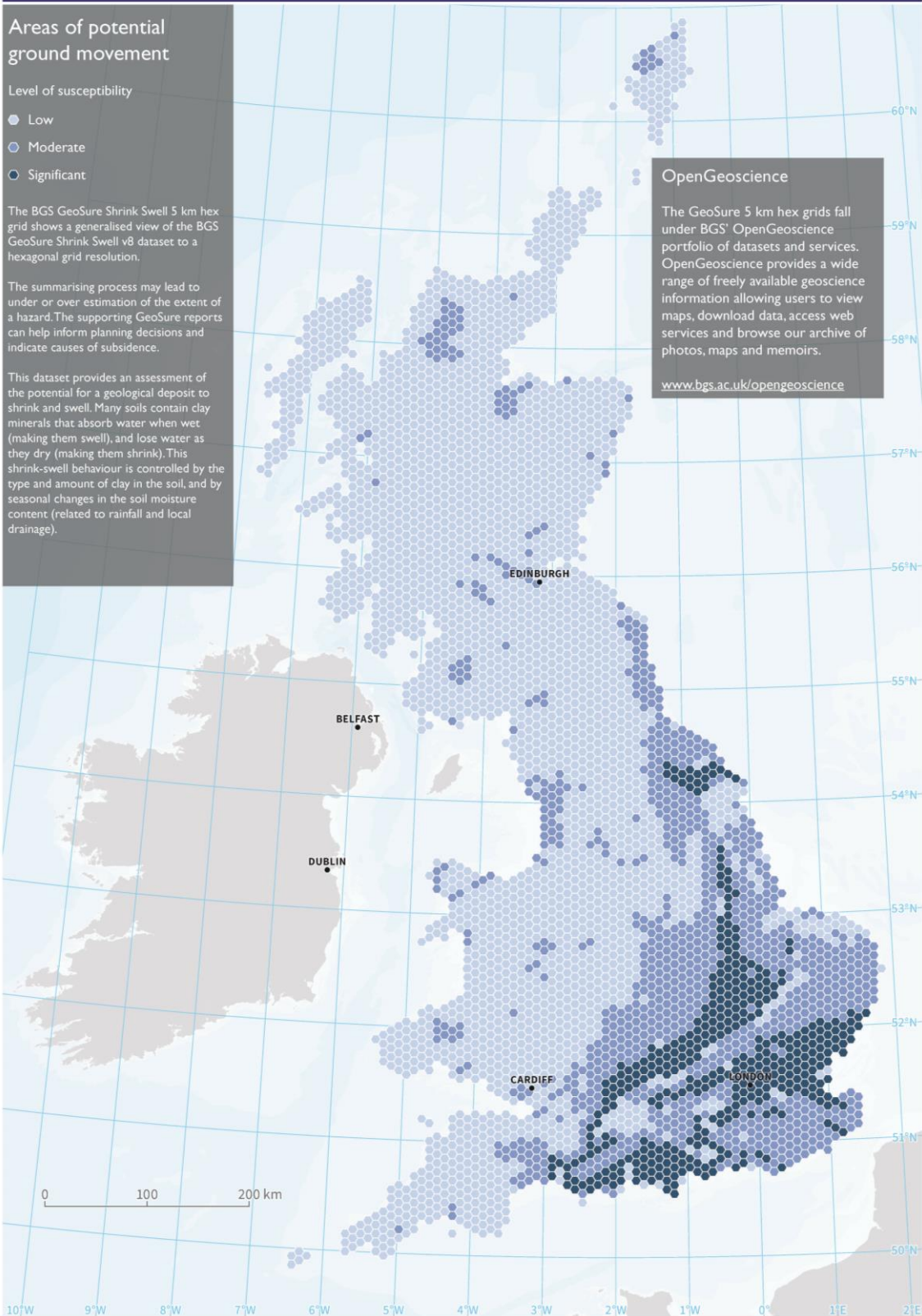
The summarising process may lead to under or over estimation of the extent of a hazard. The supporting GeoSure reports can help inform planning decisions and indicate causes of subsidence.

This dataset provides an assessment of the potential for a geological deposit to shrink and swell. Many soils contain clay minerals that absorb water when wet (making them swell), and lose water as they dry (making them shrink). This shrink-swell behaviour is controlled by the type and amount of clay in the soil, and by seasonal changes in the soil moisture content (related to rainfall and local drainage).

OpenGeoscience

The GeoSure 5 km hex grids fall under BGS' OpenGeoscience portfolio of datasets and services. OpenGeoscience provides a wide range of freely available geoscience information allowing users to view maps, download data, access web services and browse our archive of photos, maps and memoirs.

www.bgs.ac.uk/opengeoscience

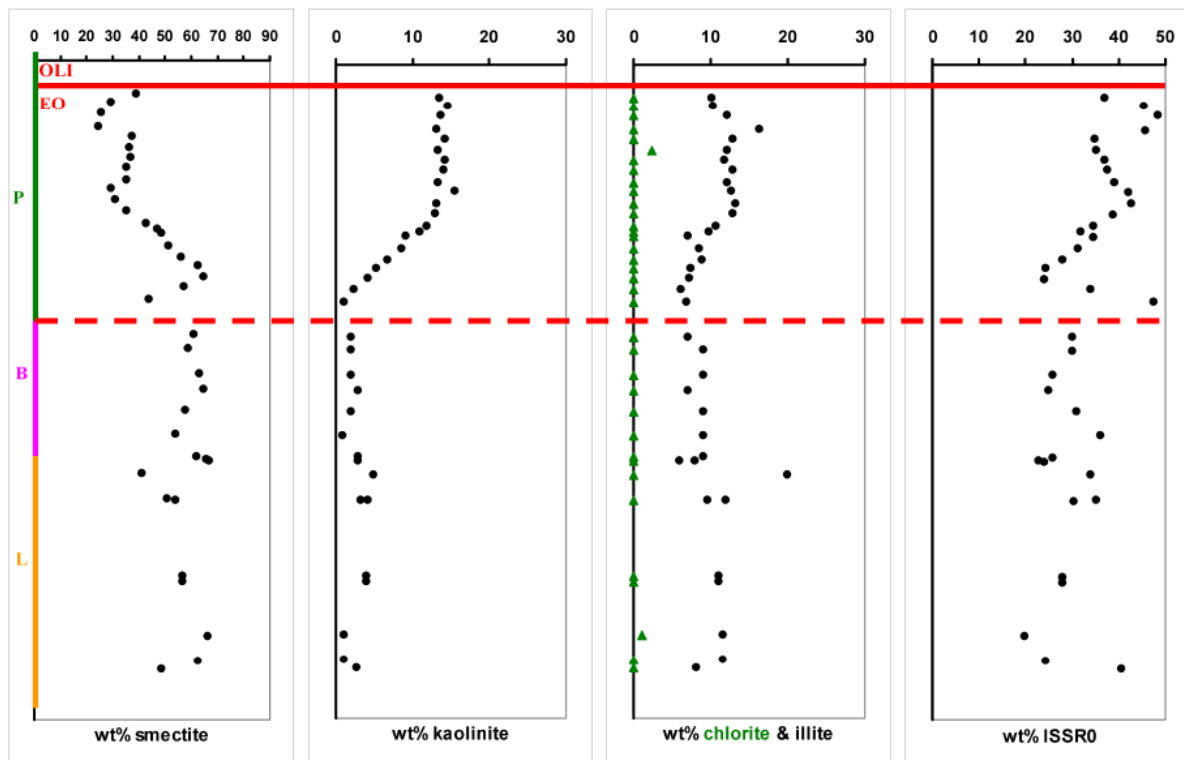


© UKRI 2019 All rights reserved.
Contains Ordnance Survey Data © Crown copyright and database right 2019.

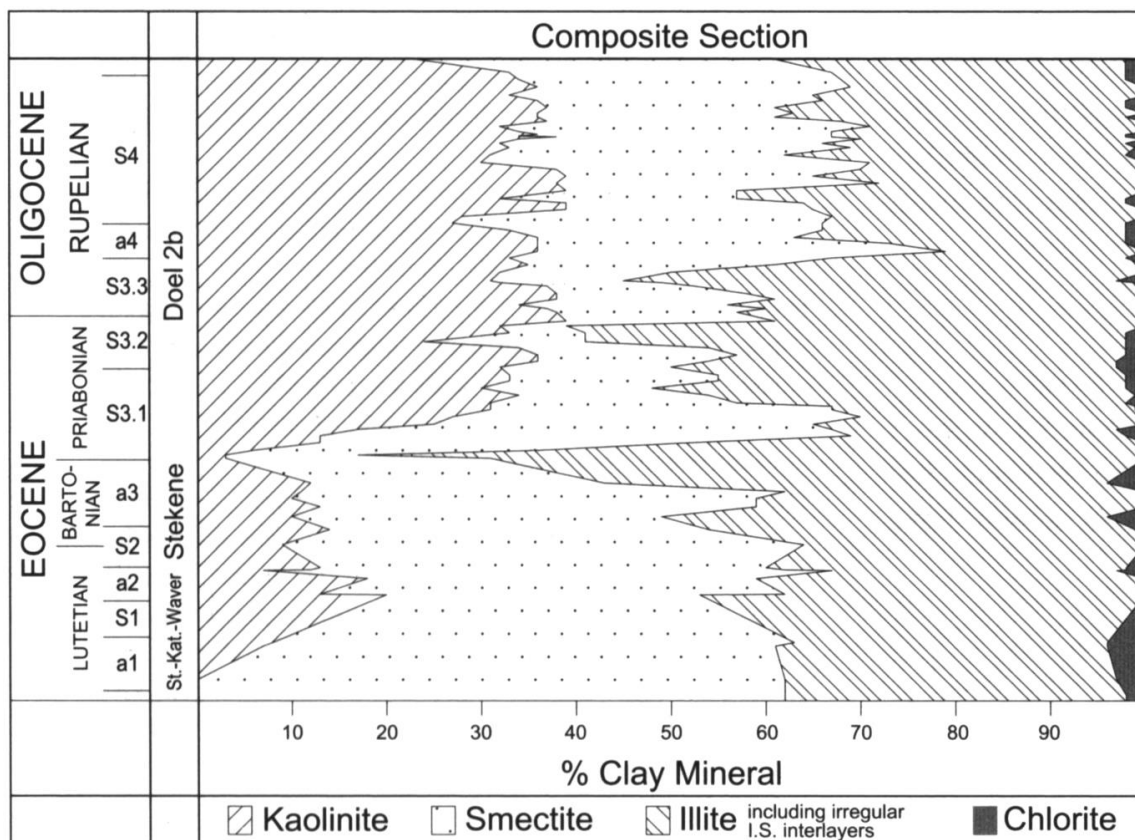
www.bgs.ac.uk/products/geoSure/geoSureHex

Figur 8. De shrink swell dataset met 5km hexagonaal grid ([bron](#)).





Figuur 11. Kwantitatieve kleimineralogie van de 2µm fractie voor het Lutetiaan tot Priaboniaan interval (gecorrigeerd voor glauconiet wanneer aanwezig), bron: Zeelmaekers (2011). Vergelijk deze figuur met Figuur 12. (P=Priaboniaan, B=Bartoniaan, L=Lutetiaan, OLI = Oligoceen, EO=Eoceen)

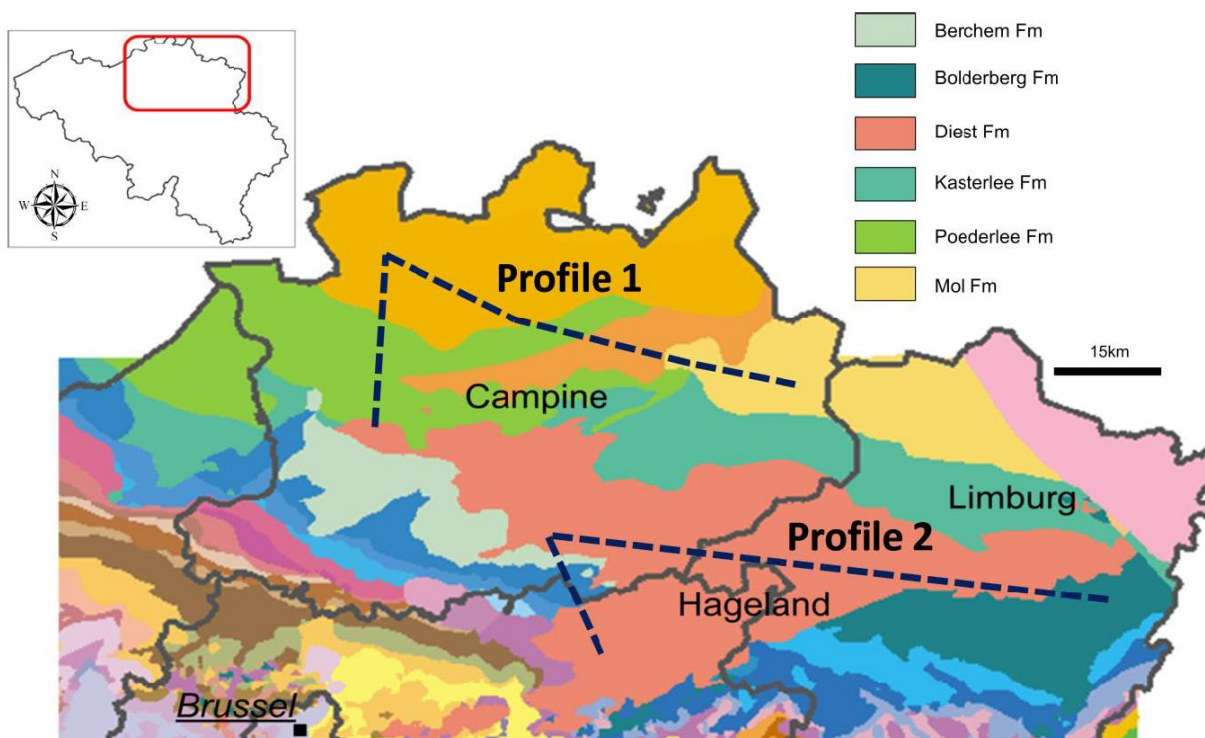


Figuur 12. Samengestelde doorsnede van de kleimineralogie (Lutetiaan tot Rupeliaan) op basis van de Sint-Katelijne-Waver, Stekene en Doel 2b boringen (Saeyns et al., 2004). Vergelijk deze figuur met Figuur 11.

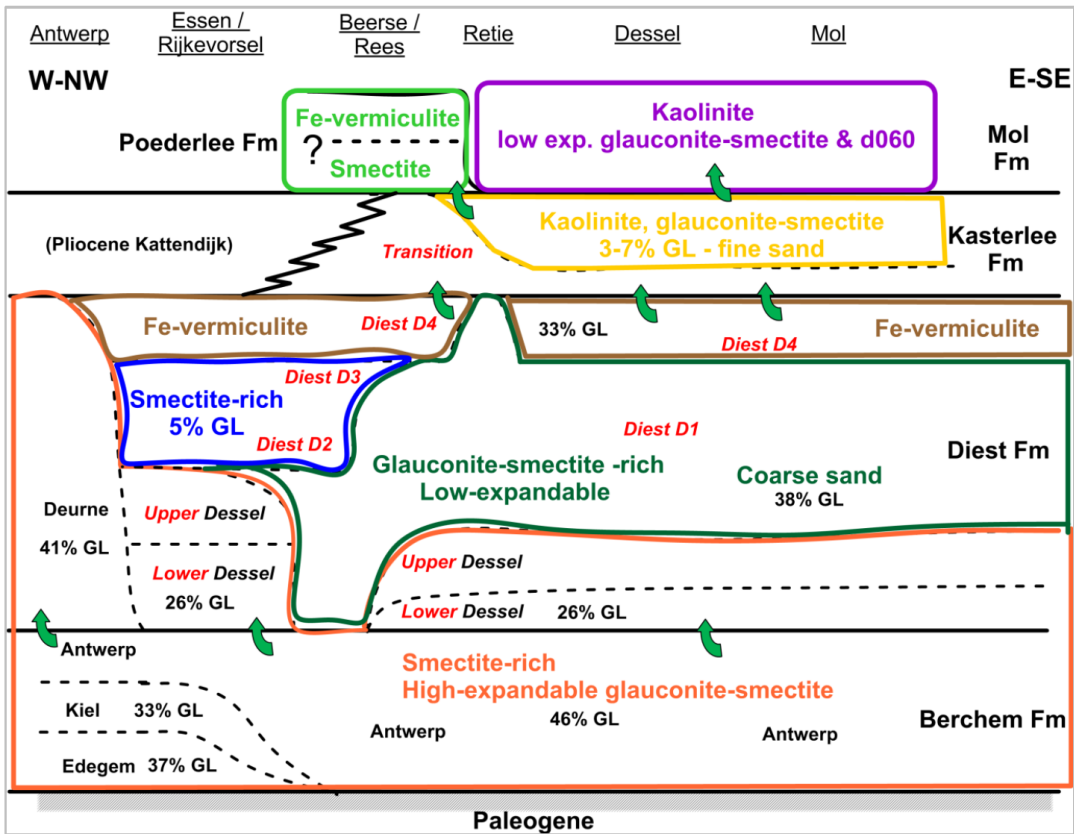
D1-eenheid in het Hageland en de Kempen niet van elkaar moeten worden onderscheiden. Wel wordt erop gewezen dat de top van de Vlaamse heuvelafzettingen, die traditioneel aan de Formatie van Diest worden toegekend, kaolinet- en illietrijk zijn en significant verschillen van de afzettingen van de Formatie van Diest in het Hageland (niet weergegeven in het schema).

- Een profiel door het Hageland (Figuur 16). Er werd vastgesteld dat de kleimineralogie zeer constant is met een smectietrijke samenstelling voor zowel alle leden van de Formatie van Berchem als voor de leden van Houthalen tot Genk van de Formatie van Bolderberg. Daarnaast wordt er onder andere op gewezen dat het Diest D1 zand in het westelijke deel van het Kempens bekken geleidelijk evolueert naar kleig zand (Diest D2 en Diest D3), gekarakteriseerd door een smectietrijke kleimineralogie.

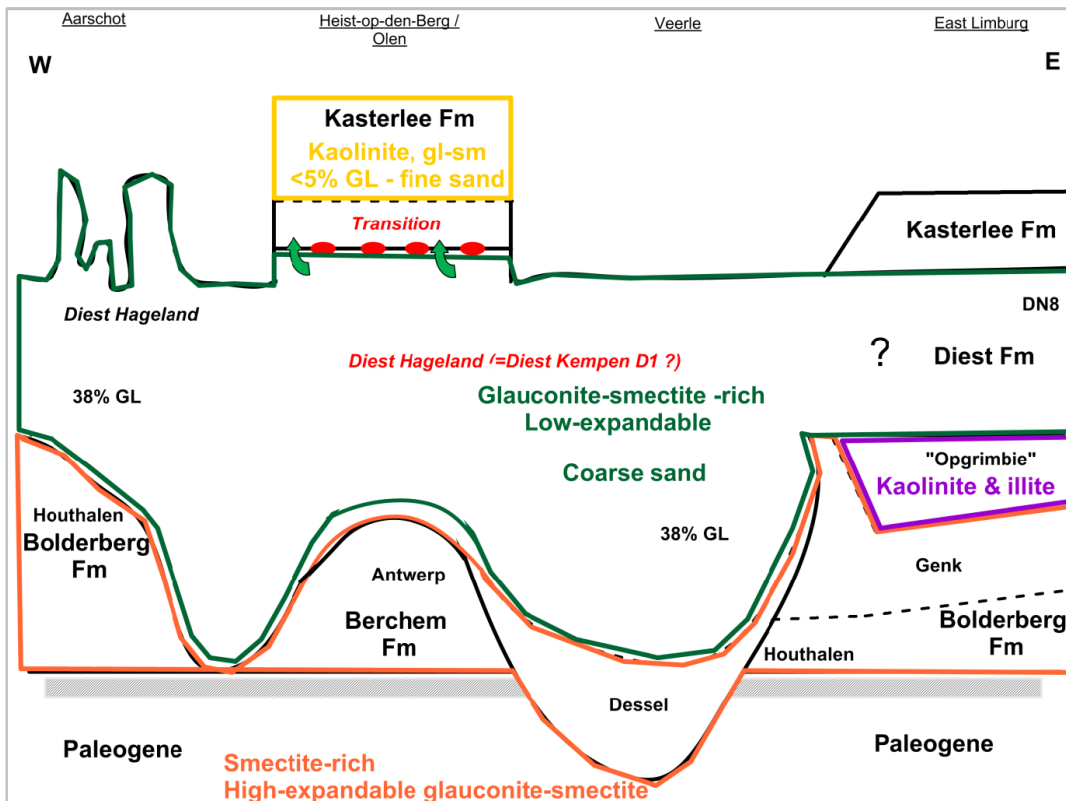
In zijn conclusies wijst Adriaens (2015) er nogmaals op dat de lithologie en kleimineralogie binnen verschillende delen van de Formatie van Diest zeer heterogeen is.



Figuur 14. Geologische kaart van het Kempens bekken met aanduiding van de profielen (zie Figuren 15 en 16). Bron: Adriaens, 2015.



Figuur 15. Geologisch profiel door de Neogene lagen in het Kempens bekken (zie Figuur 14 voor de ligging van het profiel). Bron: Adriaens, 2015.



Figuur 16. Geologisch profiel door de Neogene lagen in het Hageland (zie Figuur 14 voor de ligging van het profiel). Bron: Adriaens, 2015.

3.2.3 DOV-grondmonsters met laboproeven

Omdat de beschikbare en voor deze studie bruikbare literatuurdata eerder beperkt bleef en zeker niet alle lagen van het geologisch model afdekken, werd er verder gekeken welke data er beschikbaar is in de DOV-dataset '[Grondmonsters met laboproeven](#)'. Met behulp van de Python-bibliotheek [pydov](#) werden voor heel Vlaanderen alle beschikbare grondmonsters gedownload waarvoor minstens de korrelgrootteverdeling werd bepaald of onderkeningsproeven (properties 'korrelverdeling' of 'onderkenning') werden uitgevoerd. Dit gebeurde gemeente per gemeente met de GrondmonsterSearch()-methode van pydov. Deze query werd uitgevoerd op 19 juli 2022. Op basis van de toen beschikbare data ('samples_20220719_165900.parquet') gebeurde de verdere analyse. In het totaal leverde dit een **dataset met 25196 grondmonsters** op (d.w.z. grondmonsters met een unieke permkey 'pkey_grondmonster').

Deze data werd vervolgens een eerste keer behandeld:

- Uitrolgrenzen en vloeigrenzen kleiner dan 0 werden niet weerhouden en vervangen door 'NaN'. Op die manier kan deze data niet gebruikt worden om een plasticiteitsindex te berekenen.
- De plasticiteitsindex werd berekend (vloeigrens – uitrolgrens) en aan de data toegevoegd. Waarden van de plasticiteitsindex kleiner dan 0 werden opnieuw vervangen door 'NaN' en op deze manier verder niet gebruikt.
- De data van korreldiameter en bijhorende korrelfractie wordt in 2 aparte datavelden gestockeerd als een array (array van korreldiameters en een array van corresponderende korrelfracties). Aan de globale dataset werden om latere data-analyse te vergemakkelijken 2 datavelden toegevoegd met de korrelfracties het dichtst gelegen bij 0.002mm (kleifractie) en 0.425mm (op de fractie kleiner dan 0.425mm wordt bij conventie de plasticiteitsindex bepaald). Merk op dat voor korrelgrootteverdelingen bepaald met laserdiffractie een korreldiameter van 0.011mm werd gehanteerd om de kleifractie te bepalen! Zowel de resulterende fractie als de bijhorende korreldiameter worden in de dataset opgeslagen ('fractie_kleifractie' en 'diameter_kleifractie'; 'fractie_425micron' en 'diameter_425micron').
- Ook de gemodificeerde plasticiteitsindex werd berekend voor de monsters waarvoor zowel plasticiteitsindex als korrelgrootteverdeling beschikbaar zijn.

Op een totaal van 25196 monsters waren er op deze manier 3791 monsters waarvoor er een plasticiteitsindex werd bepaald.

In een volgende stap werd voor alle monsters de **formele en informele stratigrafische beschrijving van de boring** gedownload. Hiervoor werd opnieuw een beroep gedaan op het pydov-pakket, meer bepaald de methodes FormeleStratigrafieSearch() en InformeleStratigrafieSearch(). Deze data wordt in afzonderlijke files opgeslagen ('formal_strat_datetime.parquet' en 'informal_strat_datetime.parquet', waarbij de *datetime* de datum en tijdstip is waarop de data werd gedownload). Bij de behandeling van de formele en informele stratigrafie dienen nog enkele aandachtspunten geplaatst worden:

- Vaak zijn er meerdere formele en informele stratigrafische beschrijvingen beschikbaar voor eenzelfde boring. In onderling overleg met de opdrachtgever werd een methodologie vastgelegd om de meest betrouwbare beschrijving te weerhouden. Deze methodologie geeft voorkeur aan bepaalde opdrachten waarin de interpretatie gebeurde, bepaalde auteurs/auteuraffiliaties in combinatie met de aard van de laag (bv. Quartair, Neogeen).
- Om algemeen bruikbaar te zijn werden de formele en informele stratigrafische beschrijvingen omgezet naar de corresponderende laag van het G3Dv3-model. Voor de

3.2.4 Analyse dataonderzoek

Alle data (zowel uit literatuurbronnen als verkregen uit de DOV-grondmonsters met laboproeven) werd verzameld in een datafiche per G3Dv3-laag. Een overzicht van alle datafiches is opgenomen in Bijlage B. Figuur 19 toont als voorbeeld de datafiche die werd opgesteld met de beschikbare data voor Ld Orchies (Fm Kortrijk). Elke datafiche is volgens een vast patroon opgebouwd:

- In de linkerhelft van de datafiche:
 - A. In de linker kolom bovenaan: algemene informatie omtrent het Lid of de Formatie.
 - B. In de linker kolom centraal staat de informatie over de toegewezen gevoeligheidscategorie:
 - (*Categorie litho_inspire*) De categorie op basis van de lithologische beschrijving volgens Inspire = startcategorie (stap 1 van de methodologie voor de bepaling van de gevoeligheidscategorie voor elke G3Dv3-laag, zie paragraaf 6.1.1).
 - (*Categorie loket_PG*) De categorie op basis van de informatie gebruikt in Themaloket 'Plastische Gronden' (stap 2 van de methodologie).
 - (*Categorie verfijnd*) De uiteindelijk toegekende categorie (na stap 4 van de methodologie).
 - (*Flow categoriebepaling*) Verder geeft dit deel gedetailleerd de flow weer ter bepaling van de uiteindelijke gevoeligheidscategorie. Een detail van deze flow met bijkomende toelichting is opgenomen in Figuur 18.
- In de rechterhelft van de datafiche:
 1. Plasticiteitsindex in functie van de kleifractie voor zowel DOV-grondmonsters met laboproeven (blauw) als literatuurdata (groen).
 2. Boxplots van de plasticiteitsindex (tussen haakjes telkens het aantal beschikbare monsters):
 - PI = plasticiteitsindex o.b.v. DOV-grondmonsters met laboproeven
 - PI_literatuur = plasticiteitsindex o.b.v. literatuurdata
 - DOV+lit. = plasticiteitsindex o.b.v. data van 'PI' en 'PI_literatuur' samengevoegd
 - PI' = de gemodificeerde plasticiteitsindex (voor DOV-grondmonsters met laboproeven)
 - Pfefferkorn = de plasticiteit bepaald volgens Pfefferkorn
 - PI_bovenliggend_Q = plasticiteitsindex van de bovenliggende quartaire lagen
 3. Boxplots van de vloeigrens (tussen haakjes telkens het aantal beschikbare monsters):
 - Vloeigrens = vloeigrens o.b.v. DOV-grondmonsters met laboproeven
 - Vloeigrens lit. = vloeigrens o.b.v. literatuurdata
 4. Boxplots van de kleifractie (tussen haakjes telkens het aantal beschikbare monsters):
 - Monsters met PI = kleifractie o.b.v. DOV-grondmonsters met laboproeven waarvoor ook de plasticiteitsindex werd bepaald
 - Alle monsters = kleifractie o.b.v. alle DOV-grondmonsters met laboproeven (ook deze waarvoor geen plasticiteitsindex werd bepaald)
 - Literatuur = kleifractie o.b.v. literatuurdata
 - DOV + lit. = kleifractie o.b.v. data van 'Alle monsters' en 'Literatuur' samengevoegd
 - Literatuur (min-max) = kleifractie o.b.v. literatuurdata waarvoor een range (minimale en maximale waarde) werd opgegeven
 5. Boxplots van de CEC (tussen haakjes telkens het aantal beschikbare monsters):
 - CEC_literatuur = CEC o.b.v. literatuurdata

A

Afkorting: PA_KoRo
 Afkorting/code: g_031602PA_KoRo_b
 Naam formatie/lid G3D: Ld Roubaix

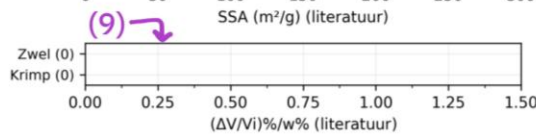
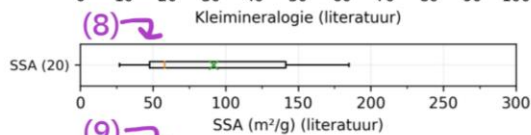
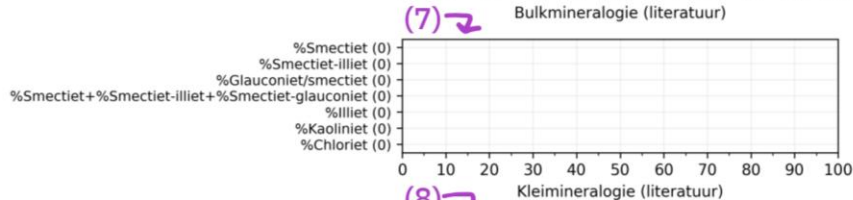
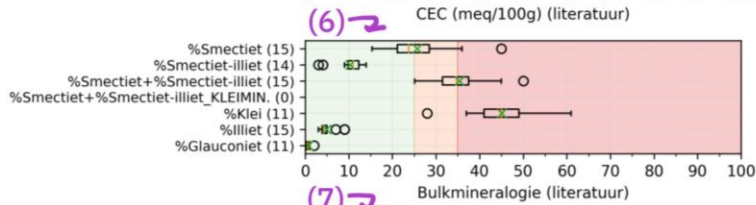
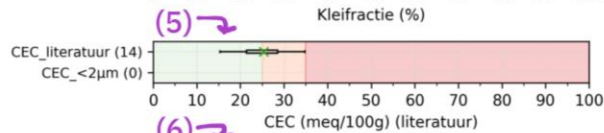
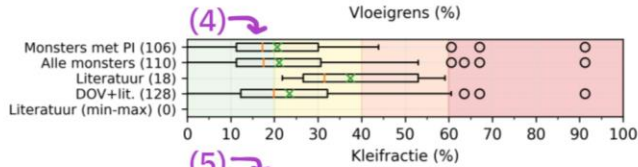
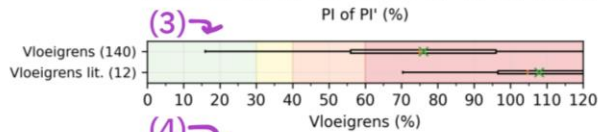
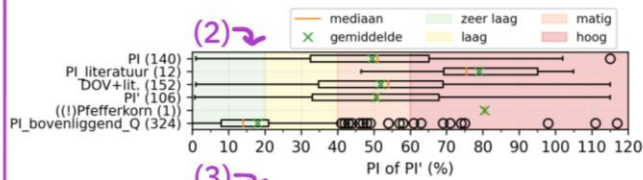
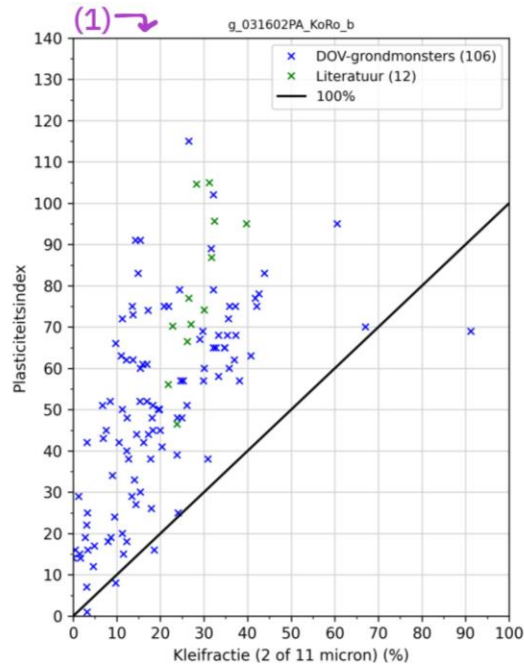
Hoofd-eenheid: A0900
 Sub-eenheid: None
 Periode: Paleogeen
 Tijdvak: Eoceen
 Lithologie (textuur): zandige kalkrijke klei
 Lithologie_Inspire: clay, sand
 Delfstofstypen: Roubaix klei
 Loket_PG: klei-silt

B

Categorie (litho_inspire): cat3 (matig)
 Categorie (loket_PG): cat3 (matig)
 Categorie (verfijnd): cat5 (zeer hoog)

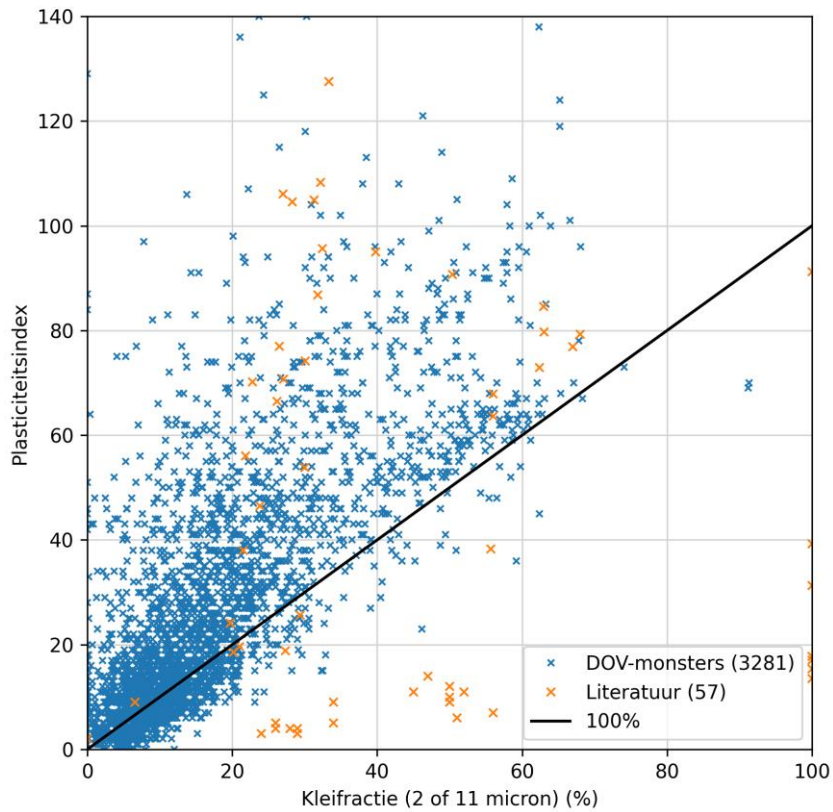
Flow categoriebepaling

- cat. litho_inspire: 3
 (cat. loket plastische gronden: 3)
- cat. na check loket plastische gronden: 3
 ## Vgl. cat_litho met cat_data/literatuur ##
 >plasticiteitsindex, cat.: 4, cat_fliers: 0 (fliers: 0%)
 >>plasticiteitsindex, cat_gecorr.: 4 (#=152)
 >fractie_kleifracctie, cat.: 2, cat_fliers: 4 (fliers: 2%)
 >>fractie_kleifracctie, cat_gecorr.: 2 (#=128)
 (cat_data: 4, o.b.v. PI)
 #####
- cat. na check met DOV/literatuurdata: 4
- cat. (+%Sm): 5 (hoog %Sm, cat. tot min. 4 verhoogd, o.b.v. ...)



Figuur 19. Datafiche van Ld Orchies (Fm Kortrijk) als voorbeeld. Zo is er voor elke G3Dv3-laag een datafiche opgemaakt.

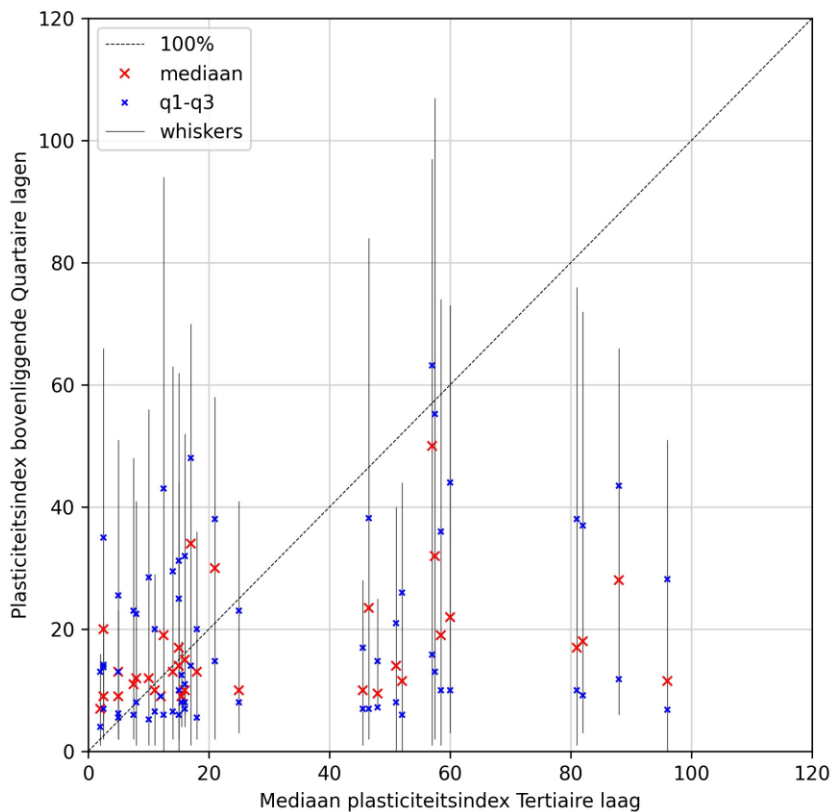
Figuur 23 toont de plasticiteitsindex in functie van de kleifractie voor alle DOV-grondmonsters met laboproeven en literatuurdata. Op basis van deze figuur kan gesteld worden dat de kleifractie als een vrij betrouwbare minimummaat kan worden gehanteerd voor de plasticiteitsindex. Deze benadering laat toe om ook voor G3Dv3-lagen waar weinig of geen data over de plasticiteit beschikbaar is een inschatting te maken van het krimp-/zwellpotentieel. Het is wel belangrijk de beperkingen van het gebruik van korrelgrootteverdeling voor de inschatting van het zwelkrimp-potentieel in achterhoofd te houden (paragraaf 3.1.2.4).



Figuur 23. Plasticiteitsindex in functie van kleifractie voor alle DOV-grondmonsters met laboproeven en literatuurdata.

Verder werd er op basis van de verzamelde data (DOV-grondmonsters met laboproeven) een (ruwe) analyse gemaakt van de link tussen de plasticiteitsindex van quartaire lagen en die van de eerst ondergelegen Tertiaire laag. Figuur 24 toont in functie van de mediaan van de plasticiteitsindex van de Tertiaire laag de range van de plasticiteitsindex van alle bovengelegen quartaire lagen. Merk op dat deze data ook is opgenomen in de datafiches per G3Dv3-laag (onderste parameter in de boxplots van de plasticiteitsindex, "PI_bovenliggend_Q"). Op basis van deze data is er niet meteen een duidelijke link waar te nemen tussen de plasticiteitsindex van de ondergelegen Tertiaire laag en die van het bovengelegen quartair.

Ten slotte werd ook onderzocht of bepaalde Quartaire lagen ruimtelijk nauwkeuriger kunnen worden onderverdeeld dan de huidige G3Dv3-modellering. Hiervoor werd de plasticiteitsindex (maximale waarde per boring) voor de verschillende Quartaire G3Dv3-lagen ruimtelijk uitgezet (figuren zie Bijlage C). Op basis van de beschikbare gegevens lijkt het momenteel echter moeilijk om dergelijke ruimtelijke verfijning uit te voeren. Zo zijn er op het eerste zicht geen duidelijke clusters met hogere/lagere waarden van de plasticiteitsindex te identificeren. Merk op dat enkel de figuren worden getoond voor lagen met beschikbare data.



Figuur 24. Plasticiteitsindex (mediaan, q₁- en q₃-waarde en whiskers) van de bovenliggende Quartaire lagen in functie van de mediaan van de plasticiteitsindex van de eerst onderliggende Tertiaire laag, op basis van de beschikbare data van de DOV-grondmonsters met laboproeven.

4 RUIMTELIJKE ANALYSE VAN BODEMBEWEGINGEN

4.1 INLEIDING

Deze deeltaak maakte slechts een beperkt deel uit van de studie. Er werd vrij summier nagegaan wat de mogelijkheden zijn van InSAR-technologie om krimp-/zwellgevoelige gebieden te lokaliseren. Daarvoor werd voor een aantal gekende schadegevallen gekeken naar de beschikbare, historische InSAR-data.

4.2 INSAR-TECHNOLOGIE

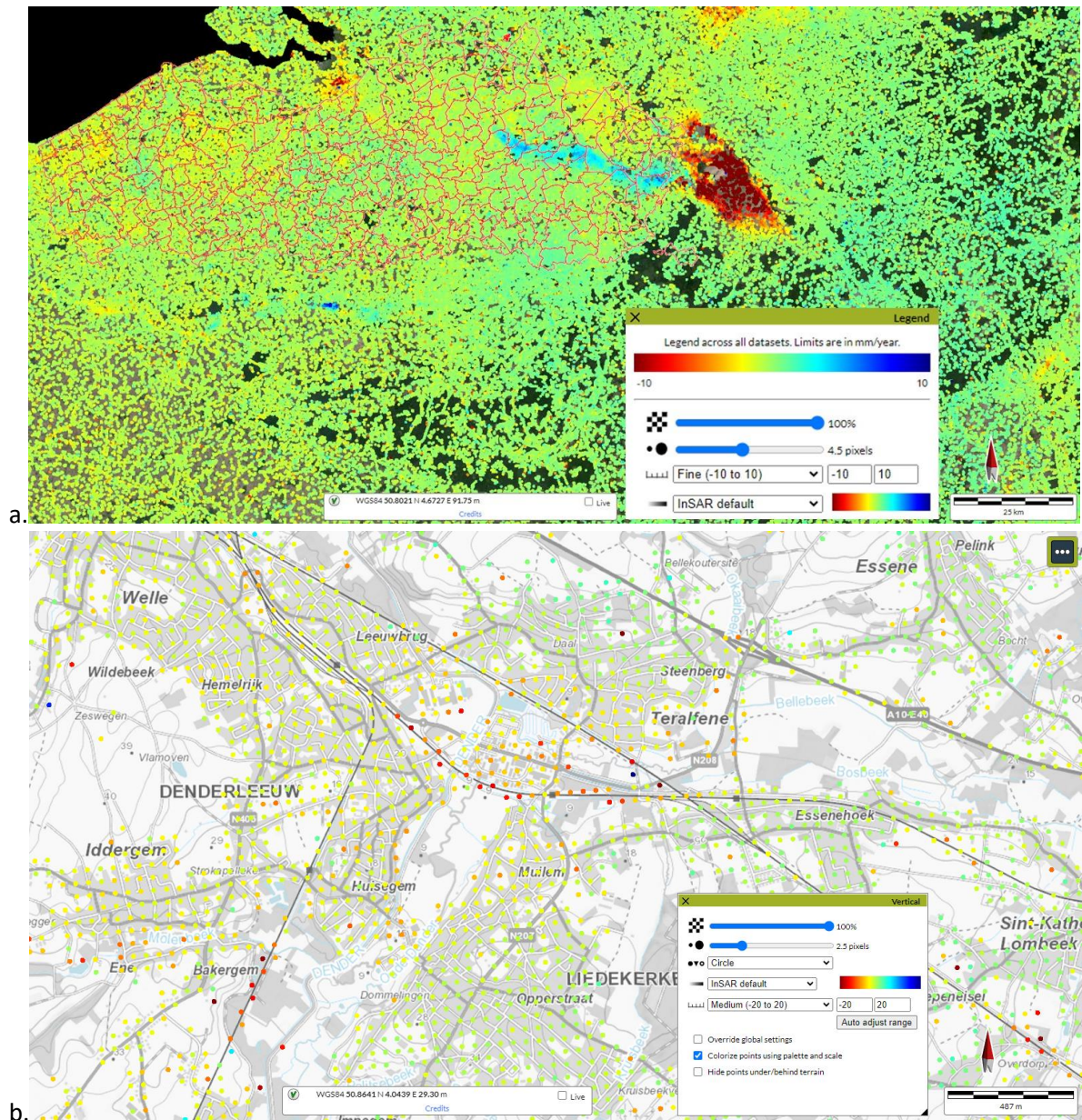
InSAR staat voor Interferometric Synthetic Aperture Radar. Aan de hand van radarbeelden van het aardoppervlak gemaakt door satellieten kunnen (langzame) verplaatsingen op het aardoppervlak tot op millimeterschaal worden opgevolgd. Hierbij komen complexe en geavanceerde analyses kijken. Een van de voordelen van InSAR is dat ook historische satellietbeelden kunnen gebruikt worden en dat er op die manier dus informatie uit het verleden kan worden verkregen.

Er kan gewerkt worden met beelden van verschillende satellietssystemen. Elk systeem gaat gepaard met bepaalde eigenschappen zoals frequentie van de beelden, spatiale resolutie (aantal meetpunten per vierkante kilometer), nauwkeurigheid, e.d.

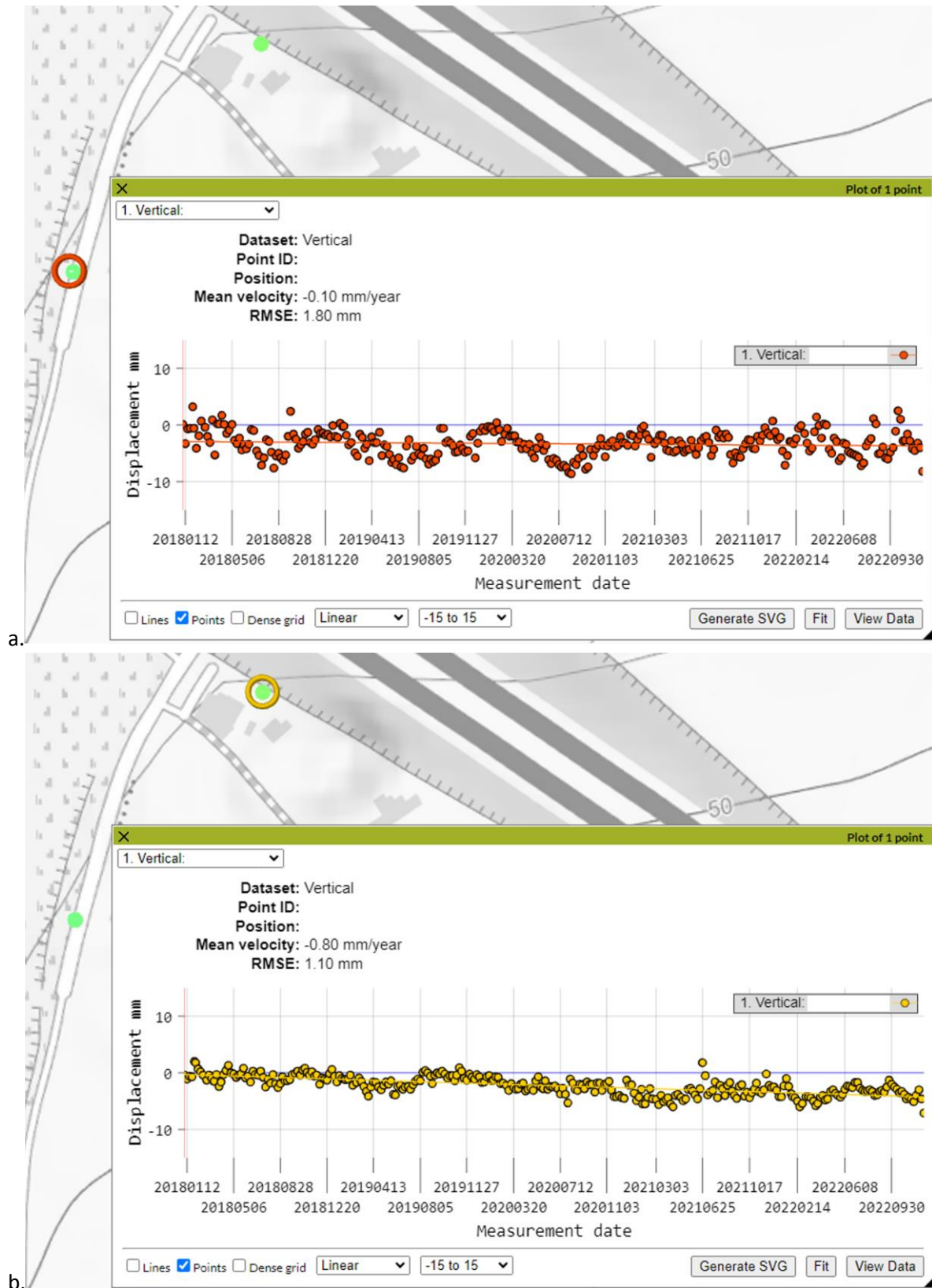
Wanneer een radarsatelliet een signaal uitstuurt, wordt dit op het aardoppervlak gereflecteerd (De Vos, 2023). De reflectie (faseverschuiving) geeft info over de afstand tussen het object en de satelliet. Door gebruik te maken van 2 satellieten (2 kijkrichtingen: ascending en descending) is een ontbinding van deze afstand in een horizontale en verticale beweging (oost-west) mogelijk. Dit principe wordt geïllustreerd in Figuur 25. De analyse van meerdere beelden laat toe om de evolutie van verplaatsingen doorheen de tijd op te volgen (nauwkeurigheid 1mm/jaar bij de beste omstandigheden).

Aandachtspunten bij deze technologie zijn o.a. (onder meer op basis van De Vos (2023)):

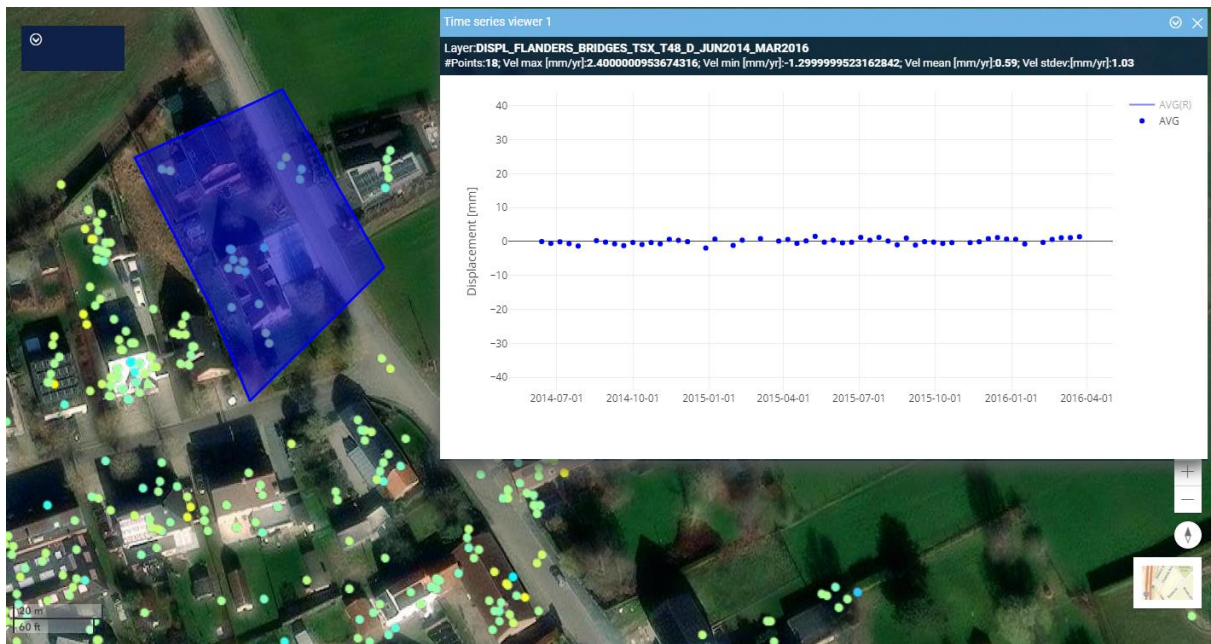
- Objecten moeten voldoende reflecteren.
- Nabijheid van water kan het resultaat beïnvloeden.
- Vegetatie is een probleem (afhankelijk van de golflengte van het radarsignaal en het type vegetatie).
- De maximale opmeetbare verplaatsing is functie van de golflengte van het radarsignaal.
- Het is onduidelijk wat precies reflecteert binnen een pixel (precieze locatie reflector is niet gekend).
- Zoals al aangegeven zijn er verschillende satellietssystemen met elk hun eigen performantie en eigenschappen. Sentinel-1 beelden kunnen gratis gebruikt worden. De [European Ground Motion Service](#) (EGMS) stelt jaarlijks een update de verwerkte beelden online ter beschikking. Meer nauwkeurige beelden van de Terrasar-X satellieten zijn dan weer betalend.
- De omzetting van de beelden tot direct bruikbare verplaatsingen is eerder complex. Enkel met speciaal ontwikkelde algoritmes wordt de beste nauwkeurigheid verkregen.
- De InSAR-technologie ontwikkelt zich nog volop. Zo worden er nog steeds nieuwe, meer geavanceerde satellieten gelanceerd die bv. beelden met kleinere pixels kunnen maken (en dus een grotere spatiale resolutie hebben).



Figuur 26. Voorbeeld van de verwerkte Sentinel-1 beelden gratis ter beschikking gesteld via de EGMS-website. (a) Voor heel Vlaanderen (de gemeentegrenzen werden voor dit voorbeeld bij benadering manueel over de kaart gelegd). (b) Een detailvoorbeeld van de gegevens die op de EGMS-website ter beschikking worden gesteld. De beschikbare datapunten worden in een raster weergegeven. Er is geen informatie over de precieze locatie(s) van elk datapunt.



Figuur 30. (a) en (b) Twee meetreeksen van pixels in de buurt van een gekend schadegeval (aanzienlijke zettingen, maar grootte onbekend) op basis van de Sentinel-1 beelden ter beschikking gesteld door EGMS (achtergrondkaart: NGI Cartoweb).



Figuur 31. Terrasar-X beeld ter hoogte van het schadegeval van Figuur 28. De meer geavanceerde software geeft mogelijkheid een gemiddelde meetreeks weer te geven van geselecteerde punten. Let op, de weergegeven data beslaat enkel de periode van 2014-2016.

5 IN-SITU CASES

5.1 INLEIDING

In het kader van voorliggende studie werd er vooropgesteld om een drietal cases (schadegevallen) van naderbij te bestuderen. Het idee was om hierbij sites te selecteren met uiteenlopende grondtypes (Formatie van Kortrijk, Formatie van Diest, ...). Uiteindelijk werden er 3 sites uitgekozen, waarvan er 2 cases in sectie 5.2 in detail worden besproken. Van de derde site waren er op het moment van opstelling van deze rapportage nog geen finale laboresultaten beschikbaar. Enerzijds werd er op deze sites bijkomend grondonderzoek (boringen en sonderingen) uitgevoerd (inclusief laboproeven op geroerde en ongeroerde monsters, zoals korrelverdeling, Atterbergse grenzen, watergehalte, volumieke massa, kalk/humusgehalte, krimp-/zwelproeven, ..., maar ook bepaling van de mineralogische samenstelling). Anderzijds monitorde Buildwise de waterverzadiging van de ondiepe ondergrond op twee van deze sites met behulp van Watermark-sensoren.

Buildwise werkte in het verleden al vaker met Watermark-sensoren om de zuigspanningen in de ondiepe ondergrond op te volgen. Dit gebeurde in het kader van onderzoek naar schijnbare cohesie in onverzadigde gronden (Tomboy et al., 2008). Watermark-sensoren (Irrometer) bestaan uit een granulaire matrix waarin elektrodes zijn ingebed. De gemeten weerstand varieert met het watergehalte in de matrix (Whenham et al., 2010) en wordt door het toestel omgerekend naar de zuigspanning of matrixpotentiaal van de grond (via een kalibratie van de sensor bij productie). Een matrixpotentiaal van 0 kPa komt overeen met een volledig verzadigde grond, waarin geen zuigspanningen optreden. De sensor heeft een meetbereik tot 239 kPa, wat overeenkomt met een zeer laag watergehalte. De conversie tussen matrixpotentiaal/zuigspanning en watergehalte dient te gebeuren op basis van waterretentiecurves, die in principe site-specifiek moeten opgesteld worden. Ook zonder dergelijke waterretentiecurves zijn dergelijke metingen nuttig in het kader van dit project, aangezien ze ook zo een goed beeld geven van de evolutie van de waterverzadiging van de ondergrond. Het voordeel van deze sensoren is hun kostprijs en laag energieverbruik, waardoor ze lang en autonoom kunnen meten.



Figuur 32. Foto van een Watermark-sensor (bron: www.irrometer.com).

5.2 BESPREKING CASES

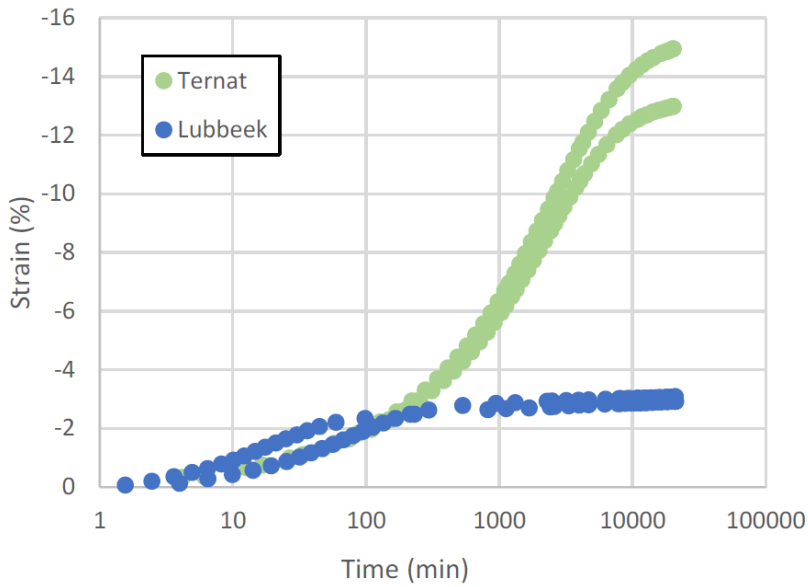
5.2.1 Case 1: Ternat

De eerste case bevindt zich in Ternat. De woning onderging de voorbije jaren een sterke differentiële zetting van 25cm die zich voordoet op de zuidoosthoek van de woning ten opzichte van de noordwesthoek (zie Figuur 33). De woning is gefundeerd op een strookfundering die is aangezet op vorstvrije diepte (naar schatting 0.7 à 0.8m diepte). Op deze site werden door Afdeling Geotechniek (departement MOW) 2 boringen en 1 handboring uitgevoerd, alsook 3 sonderingen. Buildwise installeerde in de buurt van boring B1 (zijde boom) en handboring HB3 (zijde oprit) 2 sets Watermark-sensoren. De laboproeven op de grondmonsters werden uitgevoerd door Afdeling Geotechniek, met uitzondering van de kleimineralogie en de CEC-waarden die door Qmineral bepaald werden in opdracht van VPO. De grondmonsters worden na het project bewaard in de Geothek van departement Omgeving.

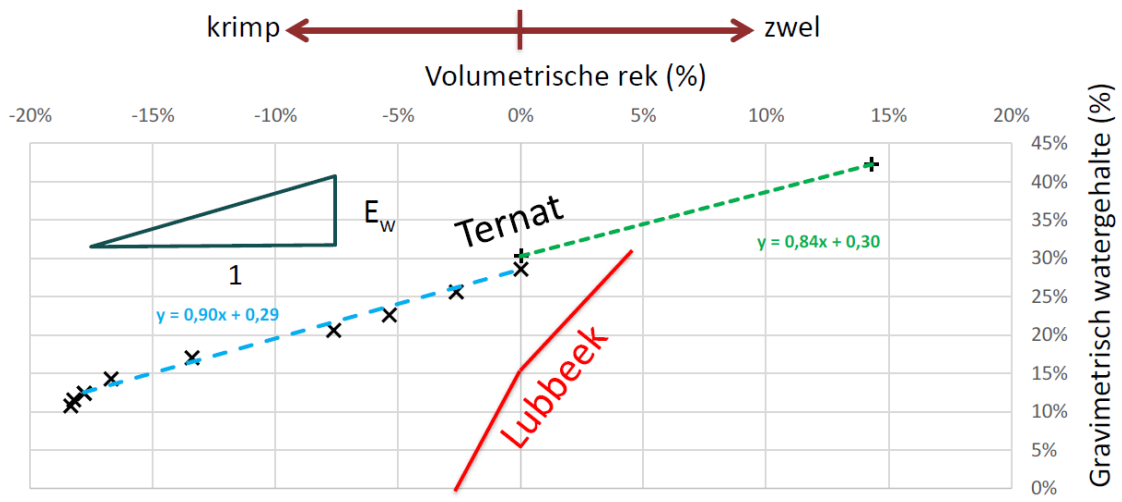


Figuur 33. Situering van case 1 (Ternat): de ligging van de woning, de boringen, de Watermark-sensoren en de treurwilg aan de voorkant van de woning. De 3 sonderingen zijn uitgevoerd in de buurt van de boringen. De richting van de optredende differentiële zetting is aangegeven in het rood.

De resultaten van de sonderingen zijn weergegeven in Figuur 34. De sonderingen zijn uitgevoerd in de buurt van de boringen. Sondering S2 is niet op de vooropgestelde diepte geraakt. Sondering S1 toont in de bovenste 4m hogere conusweerstand dan sondering S3. Tabellen 11, 12, 13 en 14 geven een overzicht van de monsters en hun (lithologische) beschrijving, de resultaten van de onderkeningsproeven, de kleimineralogie en CEC-waarde (bulkstaal) en de watergehaltes van de grondmonsters. Zowel in boring B1 als B2 werden zeer hoge waarden van de plasticiteitsindex opgemeten (73 tot 91). Voor B3 zijn geen waarden beschikbaar. De monsters met een hoge plasticiteitsindex vertonen volgens de krimp-/zwellproeven ook een grote krimp-/zwellgevoeligheid (zie Figuur 35 voor een detailresultaat van deze proeven) en hebben hogere CEC-waarden (rond 45 meq/100g). Door het percentage smectiet in de kleimineralogie te vermenigvuldigen met het % kleifractie voor dat staal, kan het percentage smectiet in de bulkmineralogie geschat worden. Deze waarden liggen vrij goed in lijn met de CEC-waarden van het bulkstaal, al zijn ze systematisch iets hoger (zie ook relatie in Figuren 20 en 21). Het percentage van de som van smectiet, illiet-smectiet en glauconiet-smectiet in de bulkmineralogie geschat op basis van het % kleifractie ligt voor de kleistalen dan weer aanzienlijk hoger dan de gemeten CEC-waarden van de bulkstalen. Voor de meer zandige stalen is de overeenkomst dan weer beter.

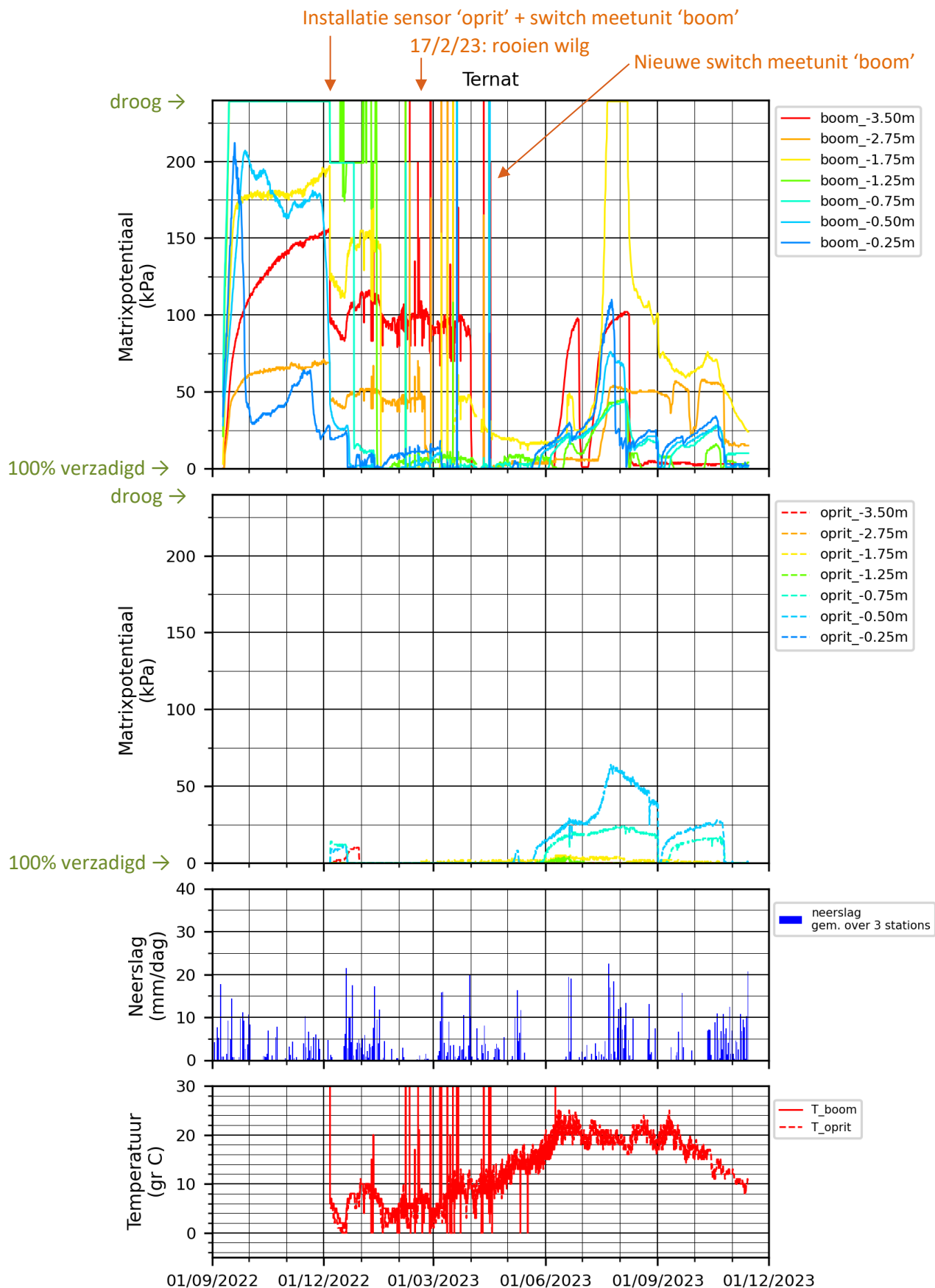


a.



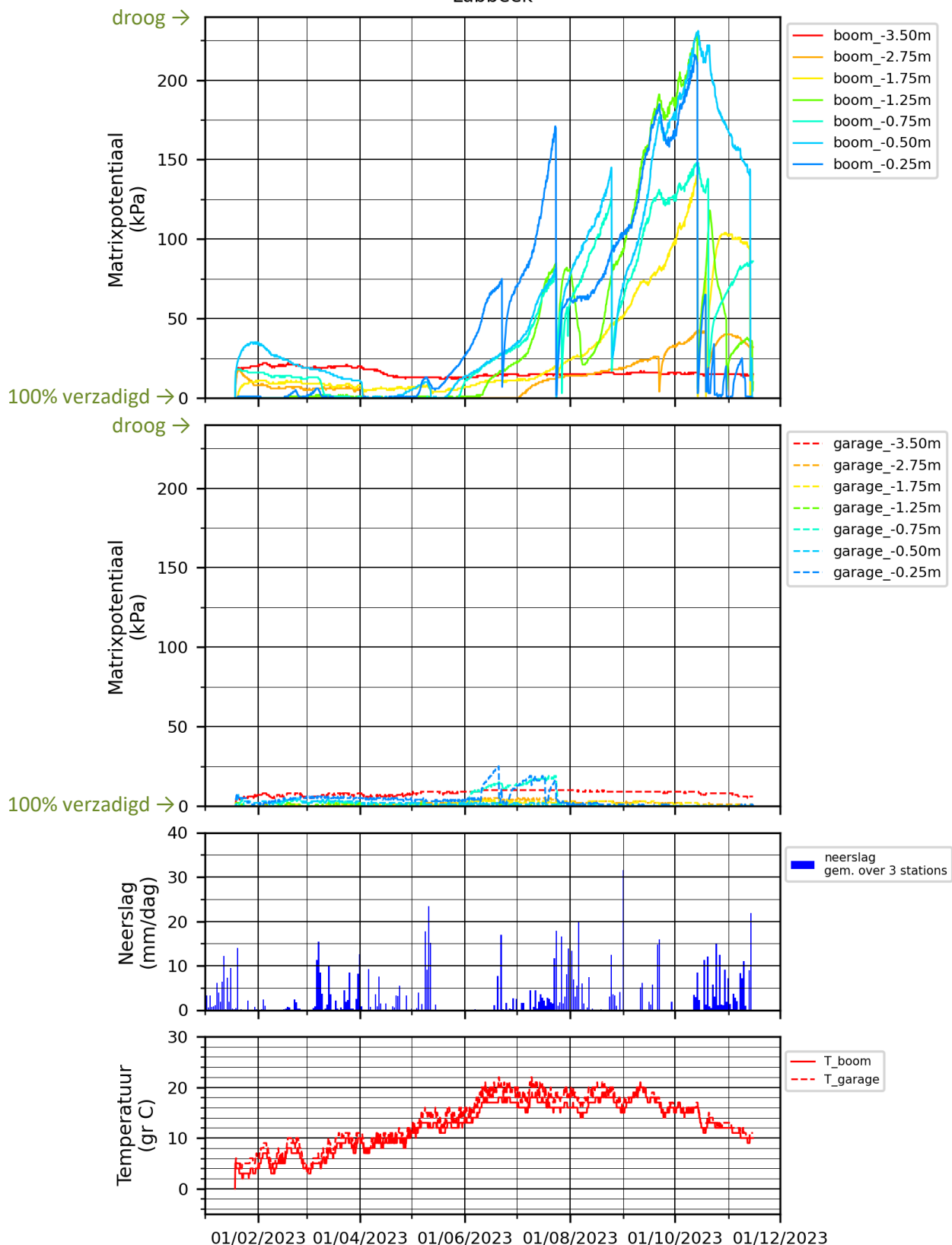
b.

Figuur 35. Ter illustratie, resultaten van de krimp-/zwellproeven uitgevoerd op de sites van Ternat (staalnummer 2 (B1) uit Tabel 12) en Lubbeek (proeven en figuren: Afdeling Geotechniek, dep. MOW). (a) Krimpvervorming in functie van de tijd. (b) Volumetrische rek in functie van het gravimetrisch watergehalte.



Figuur 37. (boven) Opgemeten matrixpotentialiaal door de Watermark-sensoren op 2 locaties bij de case in Ternat (boom (ZO) en oprit (NW)). De locatie en diepte van de sensoren t.o.v. het maaiveld zijn weergegeven in de legende. Een matrixpotentialiaal (of zuigspanning) gelijk aan 0 wijst op een volledig verzadigde grond. (onder) Inschatting van de dagelijkse neerslaghoeveelheid op basis van de metingen van 3 weerstations in de omgeving (bron: waterinfo.be) en temperatuur ter hoogte van de bovenste Watermark-sensoren.

Lubbeek



Figuur 42. (boven) Opgemeten matrixpotentialiaal door de Watermark-sensoren op 2 locaties (boom (ZW) en garage (NO)) bij de case in Lubbeek. De locatie en diepte van de sensoren t.o.v. het maaiveld zijn weergegeven in de legende. Een matrixpotentialiaal (of zuigspanning) gelijk aan 0 wijst op een volledig verzadigde grond. (onder) Inschatting van de dagelijkse neerslaghoeveelheid op basis van de metingen van 3 weerstations in de omgeving (bron: waterinfo.be), en temperatuur ter hoogte van de bovenste Watermark-sensoren.

6 OPMAAK SYNTHETISCHE GEVOELIGHEIDSKAART

6.1 METHODOLOGIE

6.1.1 Basismethodologie

Voor de opmaak van de gevoeligheidskaart vormt het geologisch 3D model van Vlaanderen (G3Dv3) het startpunt. Uitgangspunten hierbij zijn de volgende:

- Enkel lagen die voorkomen tot 5m onder het maaiveld worden beschouwd.
- Een aantal G3Dv3-lagen worden verder verfijnd op basis van het H3Dv2-model (Deckers et al., 2019), wat een beter ruimtelijk onderscheid mogelijk maakt voor deze lagen (zie Tabel 19).
- Aan elke G3Dv3- (en H3Dv2-)laag zal er een gevoeligheidsscore toegekend worden.
 - 1: zeer laag
 - 2: laag
 - 3: matig
 - 4: hoog
 - 5: zeer hoog
- De toekenning van de gevoeligheidsscores per laag zal via een specifieke, geautomatiseerde procedure verlopen (zie verder) en zal gebeuren op basis van de beschikbare data en informatie voor elke laag. Eventuele informatie op basis van de inventaris met schadegevallen wordt niet mee in rekening gebracht in deze procedure. Deze inventaris wordt enkel gebruikt om het resulterende eindproduct af te toetsen.
- Voor elke rastercel wordt de hoogst voorkomende gevoeligheidsscore weerhouden om tot het eindresultaat te komen.

Tabel 19. Overzicht van de G3Dv3-lagen waarvoor een verfijning op basis van het H3Dv2-model werd toegepast om een betere ruimtelijk onderscheid mogelijk te maken.

G3Dv3-code	G3Dv3-benaming	Corresponderende H3Dv2-lagen
g_010103Q_GtDi_GtTi_GtOg	Fm Gent Ld Dilsen, Tisselt en Opgrimbie	A0151, A0152, A0161, A0162, A0163, A0164, A0165
g_010201Q_ViCa_ViDu	Fm Vlaanderen Ld Calais en Dunkerque	A0131, A0132, A0133
g_0105Q_Lk_Ln_Zd	Fm Lanklaar, Lanaken en Zutendaal	A0181, A0182, A0183, A0184, A0185, A0186
g_020302NE_KzBr	Fm Kiezeloöliet Ld Brunssum	A0233, A0234, A0235, A0236, A0237

De toekenning van de gevoeligheidsscore per G3Dv3-laag verloopt in verschillende stappen:

- Een eerste rudimentaire indeling van de G3Dv3-lagen gebeurt volgens de Inspire-lithologie en voor de H3Dv2-lagen op basis van HCOVv2-eigenschappentabel. De gedetailleerde indeling per gevoeligheids categorie is opgenomen in Tabel 20. Op die manier wordt aan elke G3Dv3-laag een startcategorie toegekend tussen 1 en 4.
- In een tweede stap wordt de startcategorie bijgestuurd o.b.v. de lithologie gehanteerd voor de opmaak van Themaloket Plastische gronden (beschikbaar op de DOV-toelichtingspagina over [Plastische Gronden: link](#)):

7 CONCLUSIES EN AANBEVELINGEN

7.1 ALGEMENE CONCLUSIES

De resulterende gevoeligheidskaart brengt de gevoeligheid van de Vlaamse ondergrond tot 5m diepte voor krimp-/zwellenomenen bij veranderend vochtgehalte in beeld. De kaart werd opgesteld op basis van een uitgebreid dataonderzoek, gebaseerd op wetenschappelijke literatuur en DOV, waarbij data werd verzameld over de geologische lagen in de Vlaamse ondergrond voor zo veel mogelijk relevante parameters (zie Hoofdstuk 3 “Literatuur- en dataonderzoek”). Aan elke laag voorkomend in het (hydro)geologisch 3D-model van Vlaanderen (G3Dv3-H3Dv2) werd een gevoeligheidscategorie toegekend op basis van alle beschikbare gegevens per laag (paragraaf 6.1.1 “Basismethodologie”). De uiteindelijke gevoeligheidskaart toont de hoogst voorkomende gevoeligheidscategorie in de bovenste 5m onder het maaiveld. Deze kaart werd gepubliceerd als een rasterkaart met een celgrootte van 500x500m. Voor de eerste maal werd een inventaris opgesteld van schade aan woningen, potentieel gelinkt aan krimp-/zwell gedrag van de ondiepe ondergrond in Vlaanderen. De gevoeligheidskaart werd getoetst aan deze inventaris met schadegevallen (in het totaal 230 potentiële schadegevallen waarvoor de locatie minimaal op straatniveau gekend is). 82% van deze schadegevallen liggen in een gevoeligheidscategorie van 3 (gemiddeld) of hoger. 49% ligt in de hoogste gevoeligheidscategorie 5 (zeer hoog).

Om tot dit eindproduct te kunnen komen werden meerdere aannames gemaakt, die zo goed mogelijk gedocumenteerd en onderbouwd werden (zie paragraaf 6.1.2 “Kanttekeningen bij de basismethodologie”). Gezien de onzekerheid die onvermijdelijk met dergelijke kaarten gepaard gaat, moet de gebruiker zich bewust zijn van de manier waarop de kaart werd opgesteld en van de mogelijkheden en beperkingen van de kaart. Dit werd uitvoerig besproken in paragraaf 6.2 “Toelichting bij de synthetische gevoeligheidskaart”. Enerzijds worden er belangrijke richtlijnen gegeven voor het gebruik van de kaart (paragraaf 6.2.1), anderzijds werd er een voorstel gedaan voor de minimumeisen voor terreinonderzoek op basis van de gevoeligheidskaart (paragraaf 6.2.2).

De kaart dient dus als verkennend instrument te worden gebruikt. Ze geeft enkel een inschatting van de potentiële krimp-/zwellgevoeligheid van de ondergrond. Om de specifieke grondcondities op perceelniveau te kennen is er steeds specifiek grondonderzoek vereist. Deze kaart moet als een basiskaart gezien worden die naarmate er meer relevante data over de Vlaamse ondergrond wordt verworven en het inzicht in de problematiek verder vergroot, kan worden bijgestuurd en verbeterd.

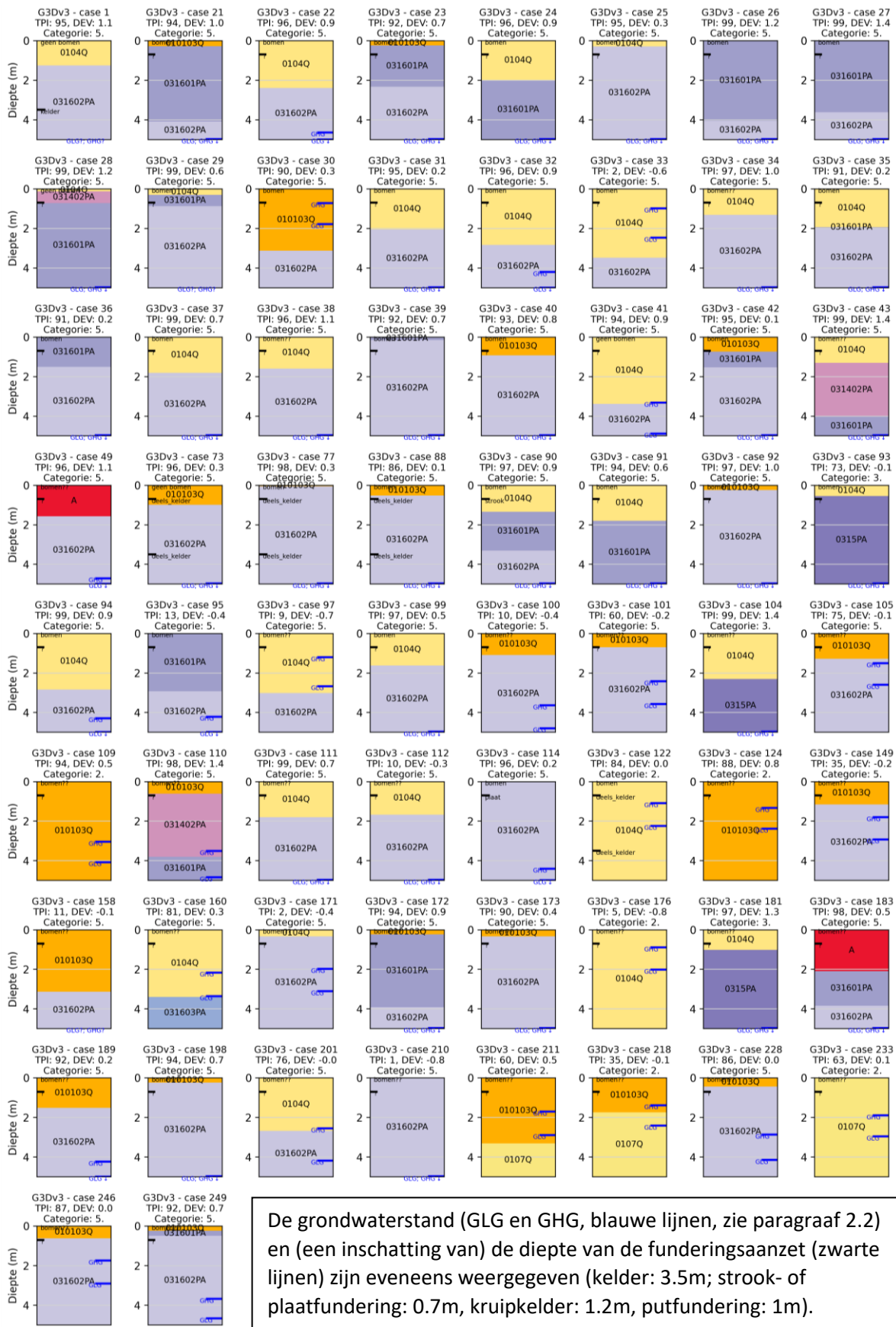
In het kader van deze studie werden ook een aantal cases, waar grote differentiële zettingen aan de woning zijn opgetreden, van naderbij bestudeerd (paragraaf 5). Laboproeven op grondmonsters van de sites wezen op een zekere krimp-/zwellgevoeligheid van de ondergrond. In situ monitoring met van het watergehalte in de ondergrond rond de woningen met Watermark-sensoren en bepaling van het watergehalte van grondmonsters toonden de grote invloed van hoge aanplantingen (in dit geval hoogstammige bomen) op het vochtgehalte van de ondergrond tot verschillende meters diep. De aanwezigheid van deze aanplantingen aan één zijde van de woningen in combinatie met de aanwezigheid van krimp-/zwellgevoelige lagen in de ondergrond (en het type en de aanzetdiepte van de funderingen) zijn wellicht de oorzaak van de differentiële zettingen die zijn opgetreden bij deze schadegevallen.

REFERENTIES

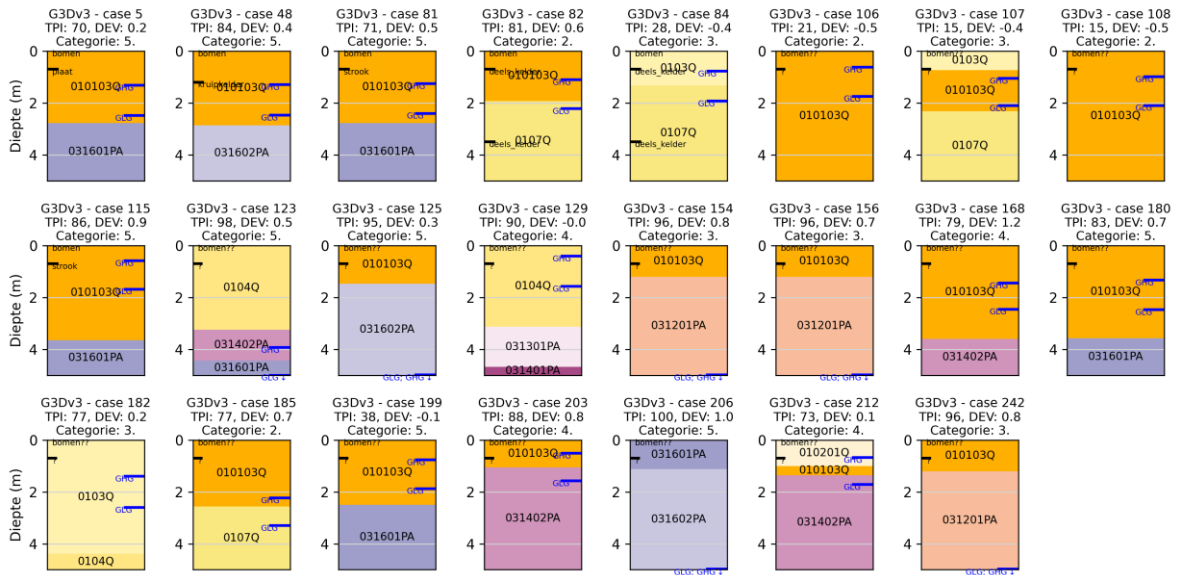
- AASHTO T 258-81, 2018. Standard Method of Test for Determining Expansive Soils, standard by American Association of State and Highway Transportation Officials.
- Adriaens, R., 2015. Neogene and Quaternary clay minerals in the southern North Sea. Ph.D. Thesis, KU Leuven, Leuven, 272 p.
- Adriaens, R., Vandenberghe, N., Elsen, J., 2017. Sedimentary petrology of Ieper Group and Rupel Group Clays. KU Leuven, projectrapport in opdracht van ONDRAF/NIRAS.
- Adriaens, R., Vandenberghe, N., 2019. Sedimentary petrology of Ieper Group clays. KU Leuven, projectrapport in opdracht van ONDRAF/NIRAS.
- Adriaens, R., Vandenberghe, N., 2020. Quantitative clay mineralogy as a tool for lithostratigraphy of Neogene Formations in Belgium: a reconnaissance study. *Geologica Belgica*, Volume 23 (2020), number 3-4 - The Neogene stratigraphy of northern Belgium, 365-378, doi.org/10.20341/gb.2020.018.
- Asuri, S., Keshavamurthy, P., 2016. Expansive soil characterisation: an appraisal. *Indian National Academy of Engineering*, 1:29-33, doi.org/10.1007/s41403-016-0001-9.
- Braekman, B., 2020. Invloed van verwerking op de mineralogische en chemische samenstelling van de kleigrondstof gebruikt in de keramische industrie in Vlaanderen. M.Sc. Thesis, UGent, Gent, 184 p.
- BRE, 1993. Low-rise buildings on shrinkable clay soils: BRE Digest, Vols. 240, 241 & 242, CRC, London.
- Chen, F.H., 1988. Foundations on Expansive Soils, Elsevier, Amsterdam.
- Cornelis, W.M., Corluy, J., Medina, H., Diaz, J., Hartmann, R., Van Meirvenne, M., Ruiz, M.E., 2006. Measuring and modelling the soil shrinkage characteristic curve. *Geoderma*, 137: 1–2, blz. 179-191, ISSN 0016-7061, doi.org/10.1016/j.geoderma.2006.08.022.
- Deckers J., De Koninck R., Bos, S., Broothaers, M., Dirix, K., Hambsch, L., Lagrou, D., Lanckacker T., Matthijs, J., Rombaut, B., Van Baelen, K. en Van Haren, T., 2019. Geologisch (G3Dv3) en hydrogeologisch (H3D) 3D-lagenmodel van Vlaanderen. Studie uitgevoerd in opdracht van: Vlaams Planbureau voor Omgeving (Departement Omgeving) en Vlaamse Milieumaatschappij 2018/RMA/R/1569, 286p. + bijlagen, <https://archieff.onderzoek.omgeving.vlaanderen.be/Onderzoek-1999911>.
- De Reu, J., Bourgeois, J., Bats, M., Zwertvaegher, A., Gelorini, V., De Smedt, P., Chu, W., Antrop, M., De Maeyer, P., Finke, P., Van Meirvenne, M., Verniers, J., Crombé, P., 2013. Application of the topographic position index to heterogeneous landscapes. *Geomorphology*, Volume 186, 2013, blz. 39-49, <https://doi.org/10.1016/j.geomorph.2012.12.015>.
- De Vos, L., 2023. Gevorderdencursus grondmechanica: Monitoring. Presentatie in het kader van de gevorderdencursus grondmechanica georganiseerd door ie-net (11/10/2023).
- Frederickx, L., Honty, M., de Craen, M., Dohrmann, R., Elsen, J., 2018. Relating the Cation Exchange Properties of the Boom Clay (Belgium) to Mineralogy and Pore-Water Chemistry. *Clays Clay Miner.* 66, 449–465 (2018). <https://doi.org/10.1346/CCMN.2018.064111>

BIJLAGEN

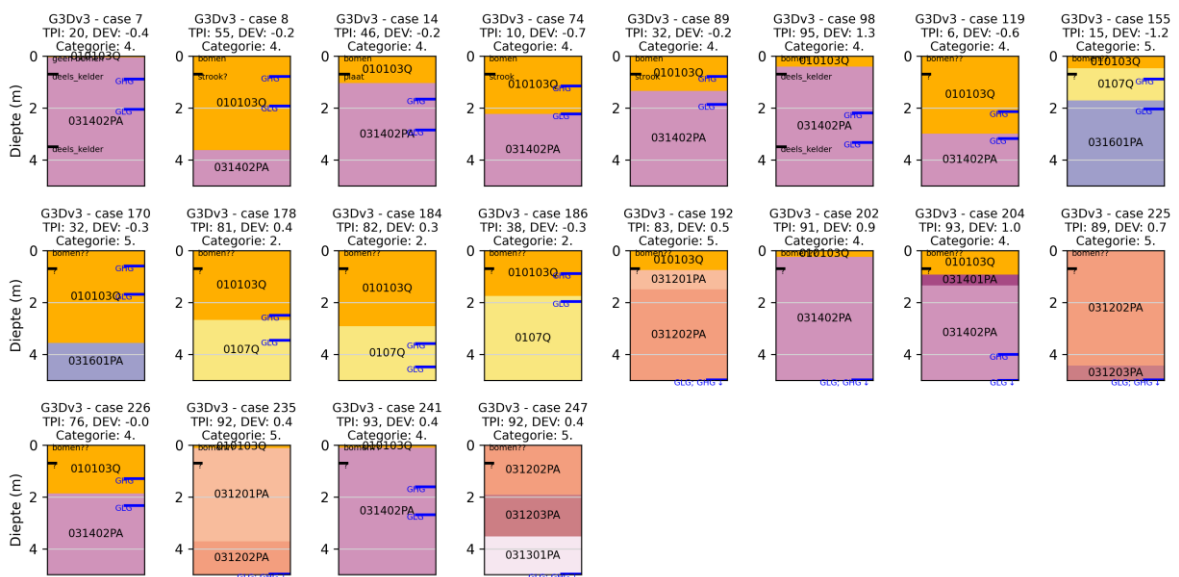
BIJLAGE A. ANALYSE OP BASIS VAN TOPOGRAFIE EN GEOLOGISCHE LAAGOPBOUW



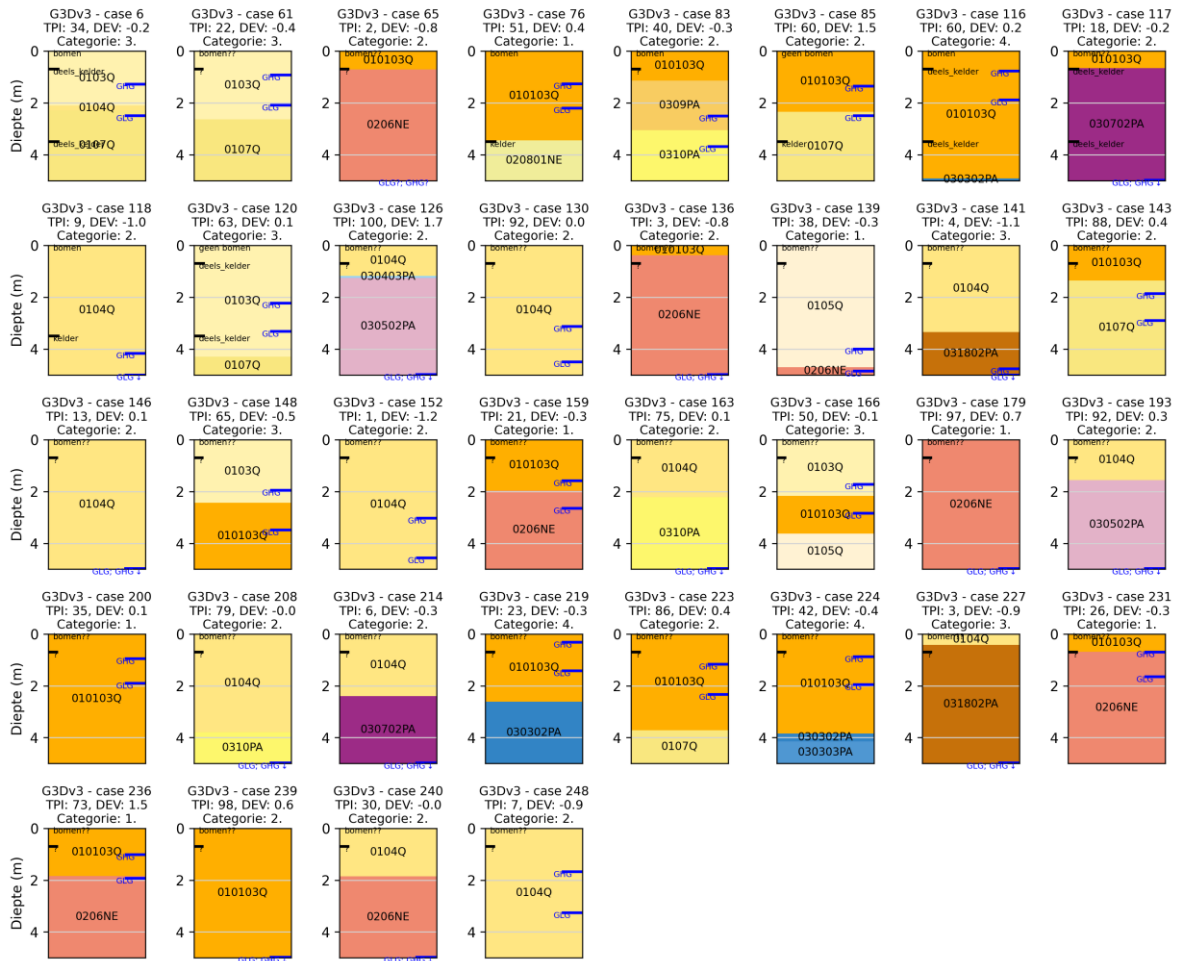
Figuur 50. Overzicht van de geologische laagopbouw van de bovenste 5m voor de schadegevallen in cluster 1_1. Vermelde TPI- en DEV-waarden zijn bepaald voor een straal van 500m.



Figuur 51. Overzicht van de geologische laagopbouw van de bovenste 5m voor de schadegevallen in cluster 1_2. Vermelde TPI- en DEV-waarden zijn bepaald voor een straal van 500m. De grondwaterstand (GLG en GHG, blauwe lijnen, zie paragraaf 2.2) en (een inschatting van) de diepte van de funderingsaanzet (zwarte lijnen) zijn eveneens weergegeven (kelder: 3.5m; strook- of plaatfundering: 0.7m, kruipkelder: 1.2m, putfundering: 1m).



Figuur 52. Overzicht van de geologische laagopbouw van de bovenste 5m voor de schadegevallen in cluster 1_3 . Vermelde TPI- en DEV-waarden zijn bepaald voor een straal van 500m. De grondwaterstand (GLG en GHG, blauwe lijnen, zie paragraaf 2.2) en (een inschatting van) de diepte van de funderingsaanzet (zwarte lijnen) zijn eveneens weergegeven (kelder: 3.5m; strook- of plaatfundering: 0.7m, kruipkelder: 1.2m, putfundering: 1m).



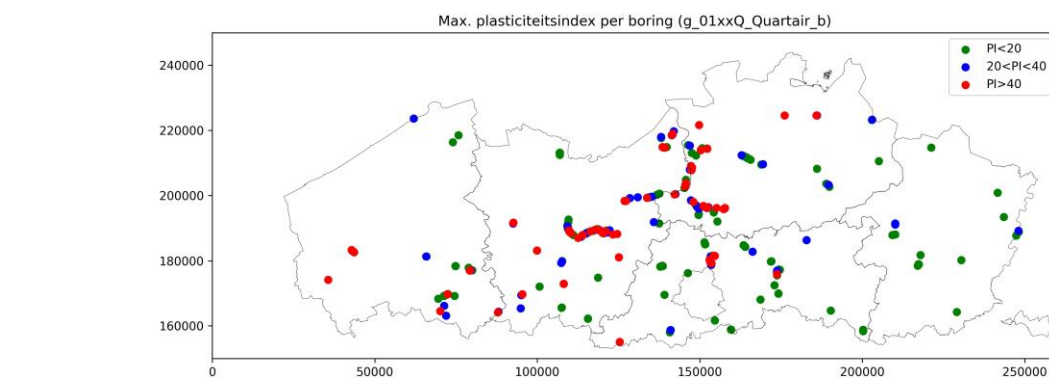
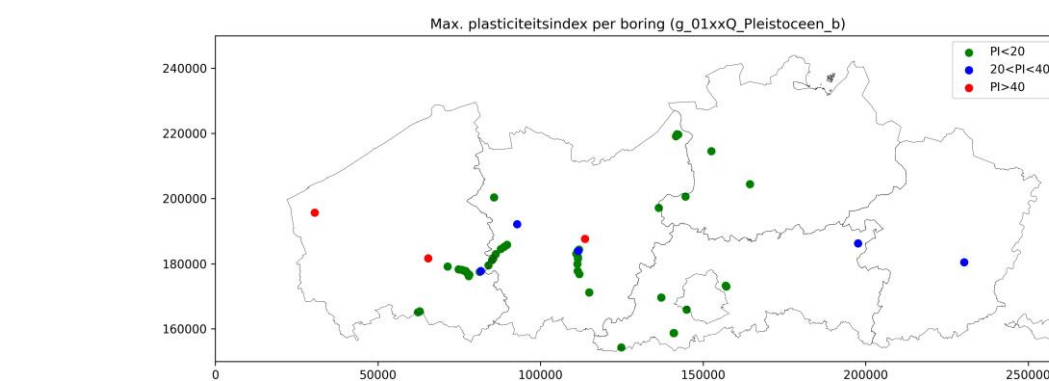
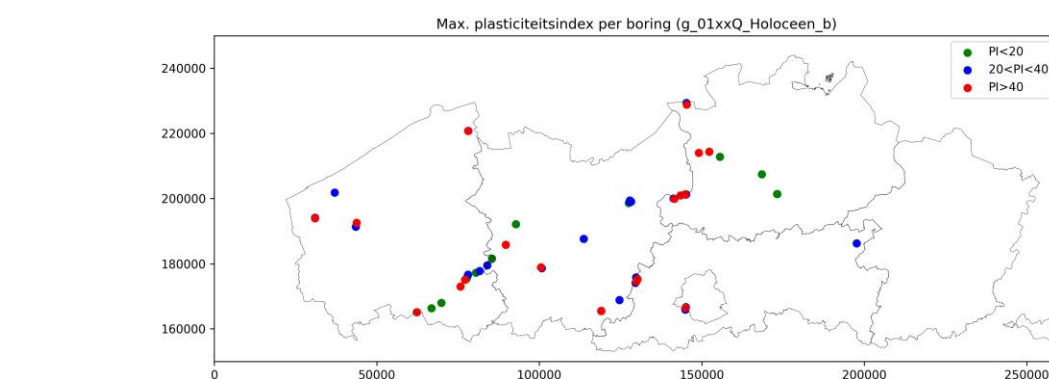
Figuur 57. Overzicht van de geologische laagopbouw van de bovenste 5m voor de schadegevallen in cluster 5 . Vermelde TPI- en DEV-waarden zijn bepaald voor een straal van 500m. De grondwaterstand (GLG en GHG, blauwe lijnen, zie paragraaf 2.2) en (een inschatting van) de diepte van de funderingsaanzet (zwarte lijnen) zijn eveneens weergegeven (kelder: 3.5m; strook- of plaatfundering: 0.7m, kruipkelder: 1.2m, putfundering: 1m).

BIJLAGE B. DATAFICHES PER G3DV3-LAAG

In deze bijlage kunnen de datafiches per G3Dv3-laag worden teruggevonden. Deze datafiches zijn het resultaat van het dataonderzoek op basis van literatuurdata en de DOV-grondmonsters met laboproeven. Dit is dataonderzoek is uitvoerig beschreven in paragraaf 3.2 “Dataonderzoek”.

BIJLAGE C. RUIMTELIJKE VERDELING PLASTICITEITSINDEX GRONDMONSTERS MET LABOPROEVEN QUARTAIR

De figuren in deze bijlage tonen de ruimtelijke verdeling van de plasticiteitsindex voor verschillende Quartaire lagen (op basis van de data van DOV-grondmonsters met laboproeven). Merk op dat niet voor elke quartaire G3Dv3-laag data beschikbaar is.



Figuur 58. Ruimtelijke verdeling van de plasticiteitsindex (maximum per boring) op basis van alle DOV-grondmonsters met laboproeven voor grondmonsters die niet aan een specifieke quartaire G3Dv3-laag konden worden toegekend: (a)

